



Effetti da Evento Singolo in MOSFET di potenza

G.Busatto, F.Iannuzzo, A. Porzio, A.Sanseverino, F.Velardi

SOMMARIO

- Introduzione sui MOSFET di potenza
- Set-up Sperimentale
- Analisi Statistica
- Risultati Sperimentali
- Simulazioni 3D
- Conclusioni



SIRAD



Università degli Studi di Cassino



SOMMARIO

- Introduzione sui MOSFET di potenza
- Set-up Sperimentale
- Analisi Statistica
- Risultati Sperimentali
- Simulazioni 3D
- Conclusioni



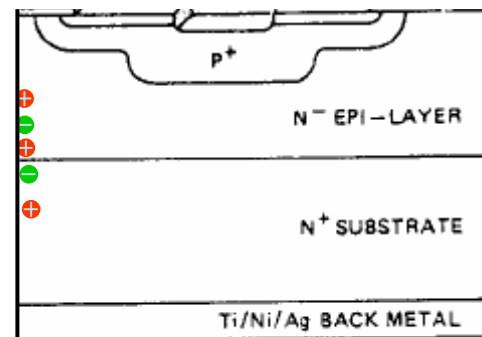
SIRAD



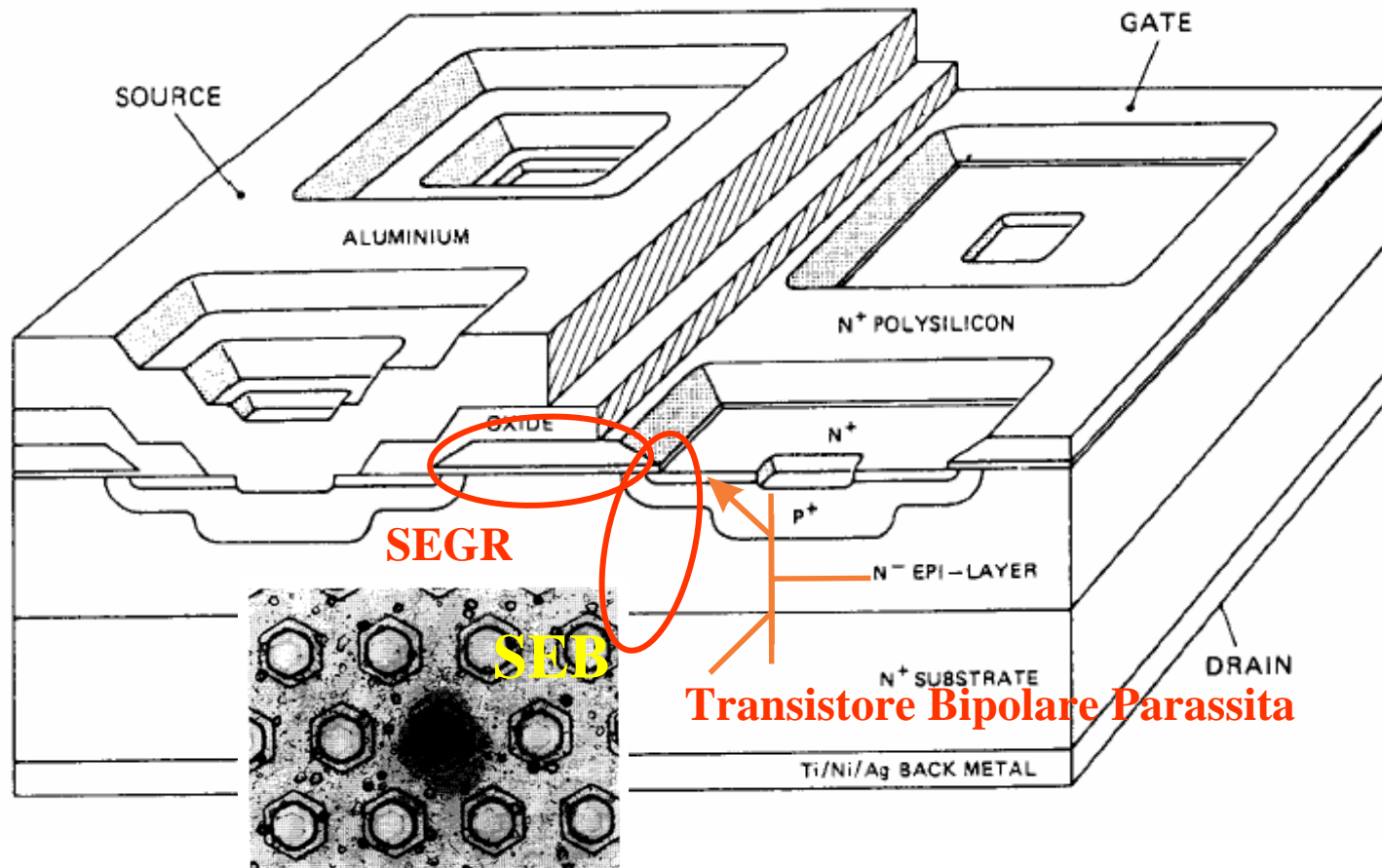
Università degli Studi di Cassino



Struttura del MOSFET



Meccanismi di rottura proposti in letteratura



SOMMARIO

- Introduzione sui MOSFET di potenza
- **Set-up Sperimentale**
- Analisi Statistica
- Risultati Sperimentali
- Simulazioni 3D
- Conclusions



SIRAD

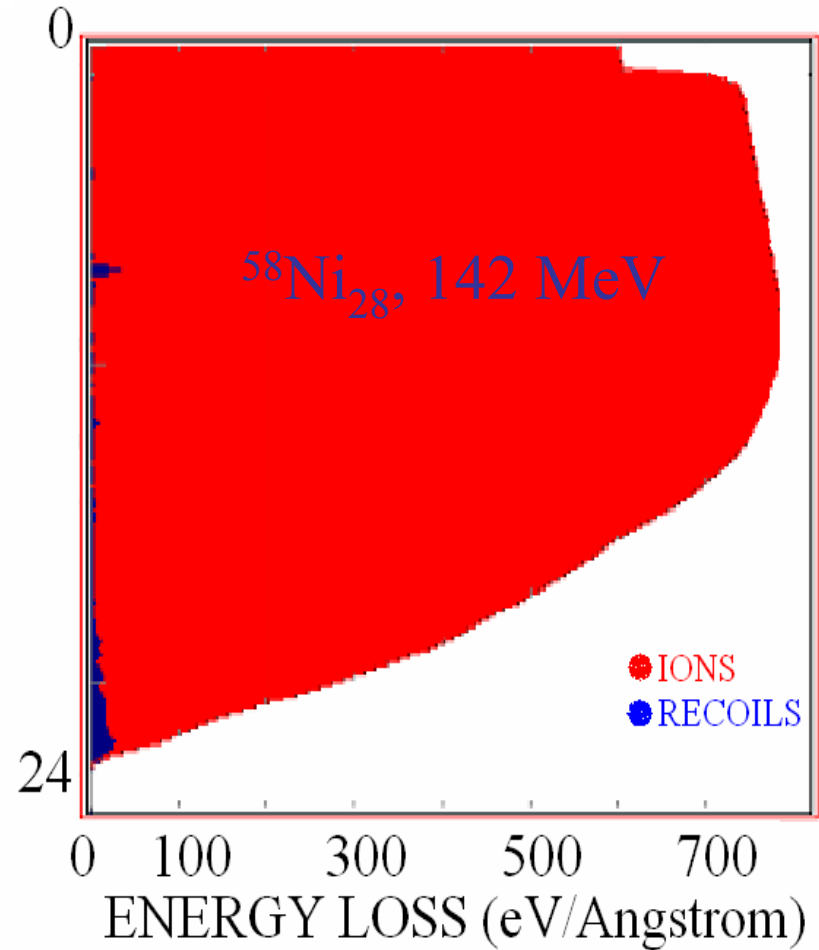
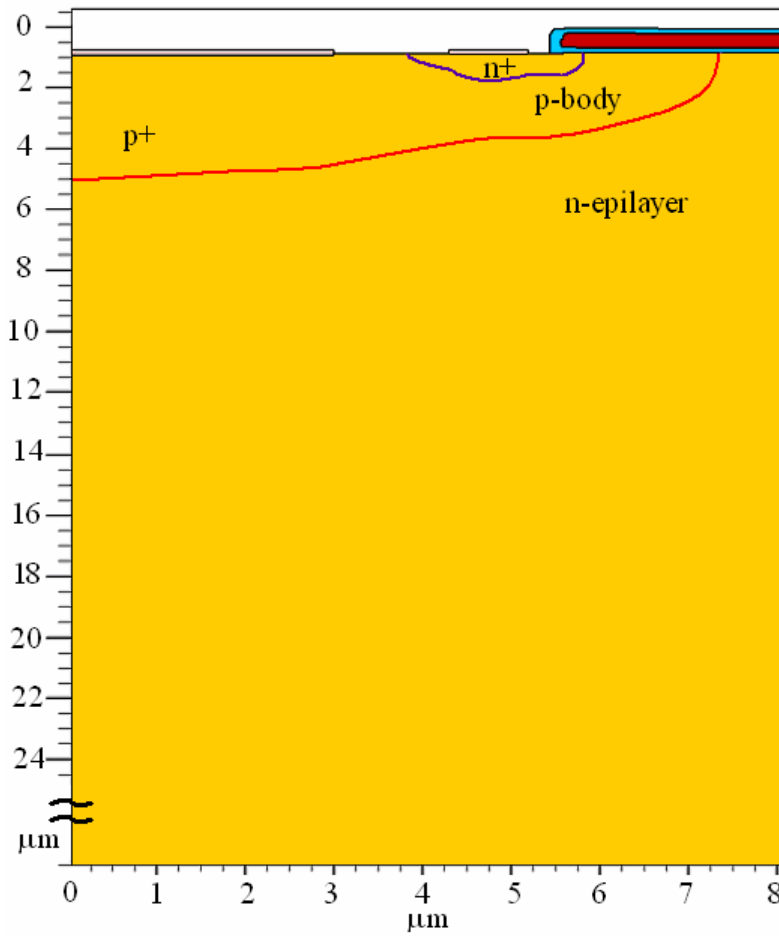


Università degli Studi di Cassino



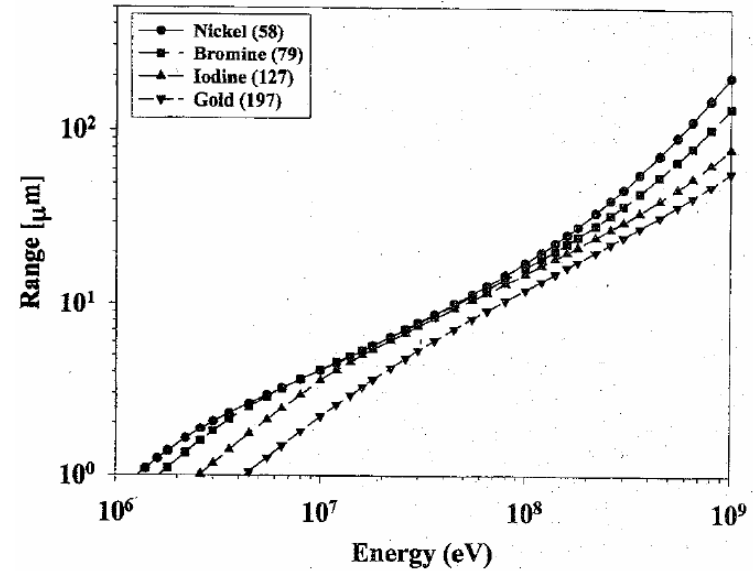
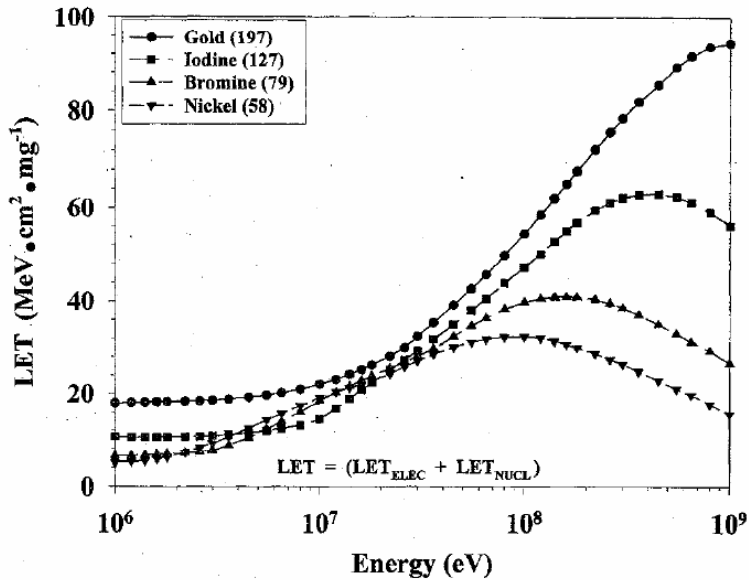
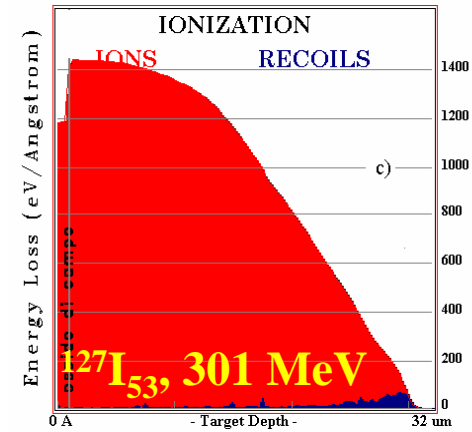
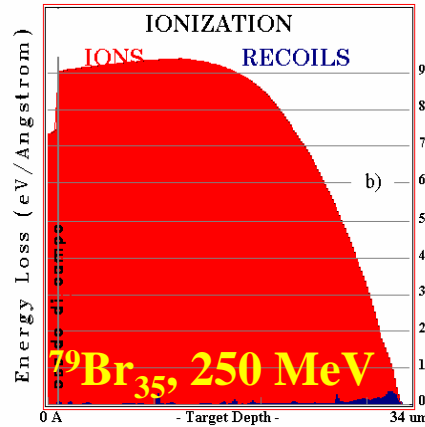
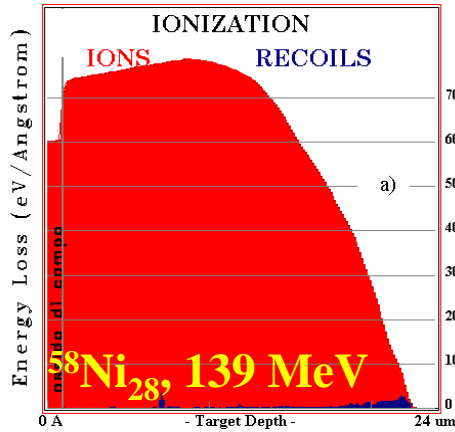
IL SET-UP SPERIMENTALE

LA SCELTA DELLA PARTICELLA INCIDENTE



IL SET-UP SPERIMENTALE

LA SCELTA DELLA PARTICELLA INCIDENTE



Titus et al. – IEEE TNS - 1996



SIRAD

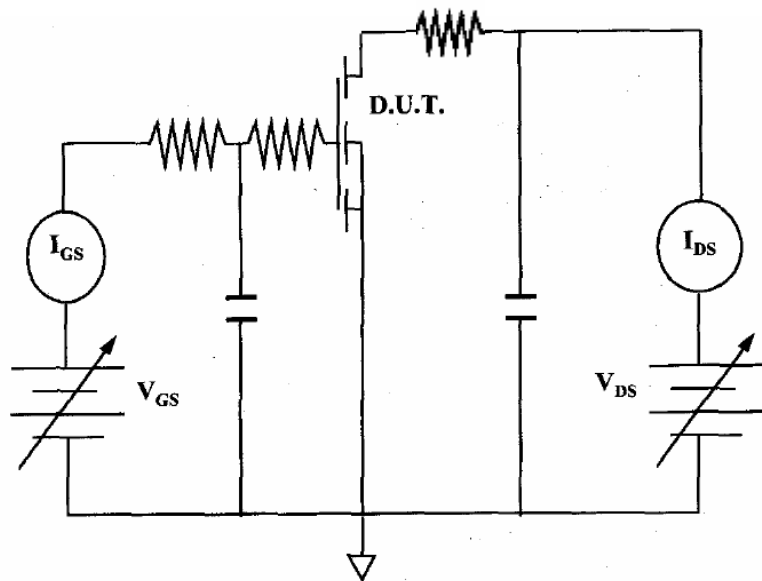


Università degli Studi di Cassino

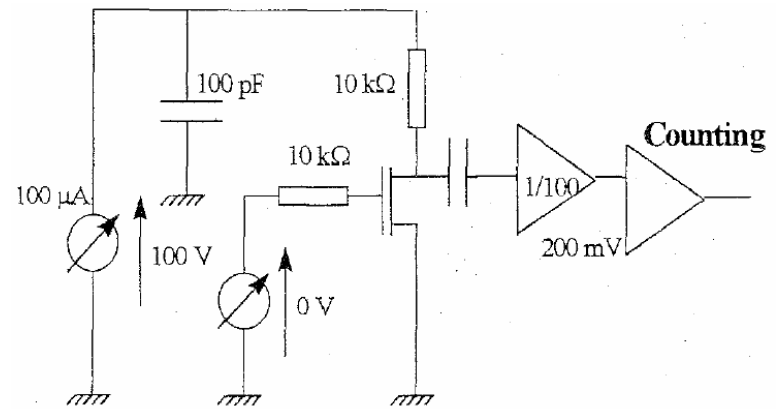


Circuiti di Test proposti in letteratura

Circuito usato per
le prove di qualificazione

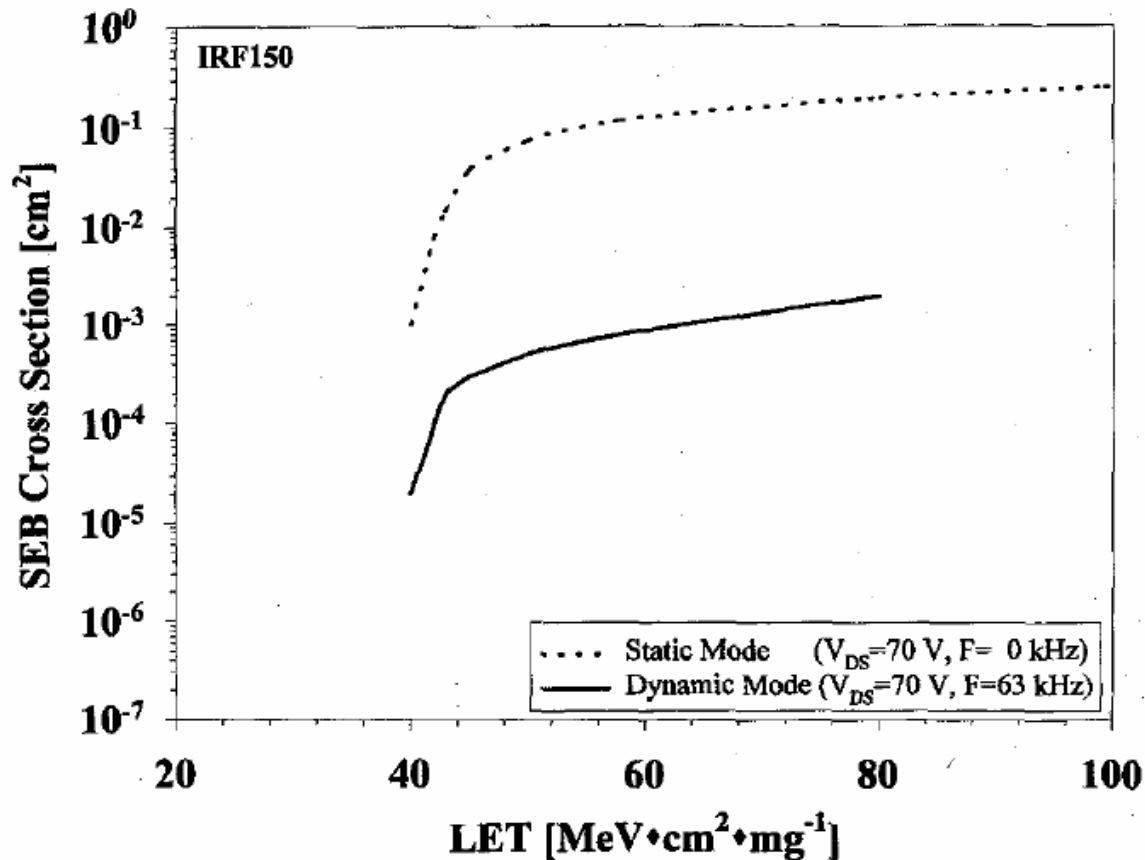


Circuito STAMTIL
(proposto dal CNES)



- Protocollo militare MIL RIF 19500/appendice E sancisce le caratteristiche Rad Hard che il dispositivo deve possedere.
- Standard militare MIL STD 750 stabilisce la metodologia con cui i test devono essere effettuati, in particolare:
 - Metodo 1019 relativo all'affidabilità nei confronti della dose totale ionizzante.
 - Metodo 1080 relativo all'affidabilità nei confronti di effetti da singolo evento.

SEB Cross-section al variare della LET



Titus et al. – IEEE TNS - 1996



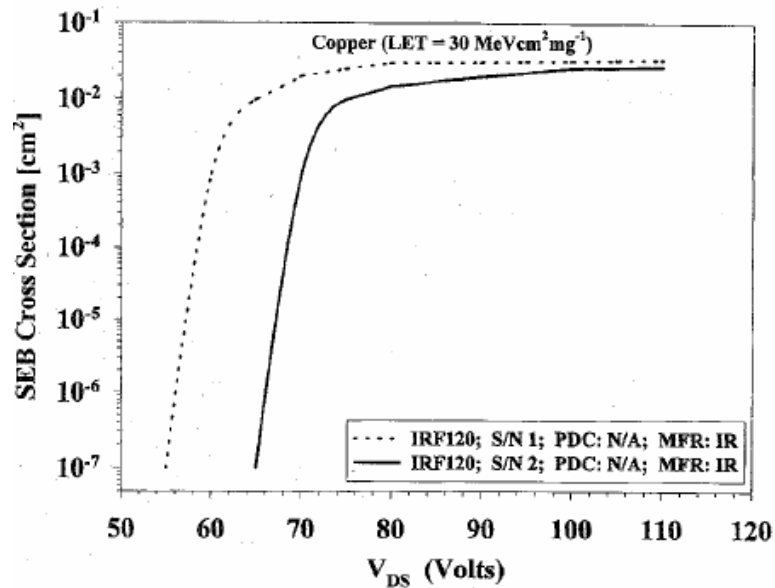
SIRAD



Università degli Studi di Cassino



SEB Cross-section al variare della tensione applicata



Titus et al. – IEEE TNS - 1996



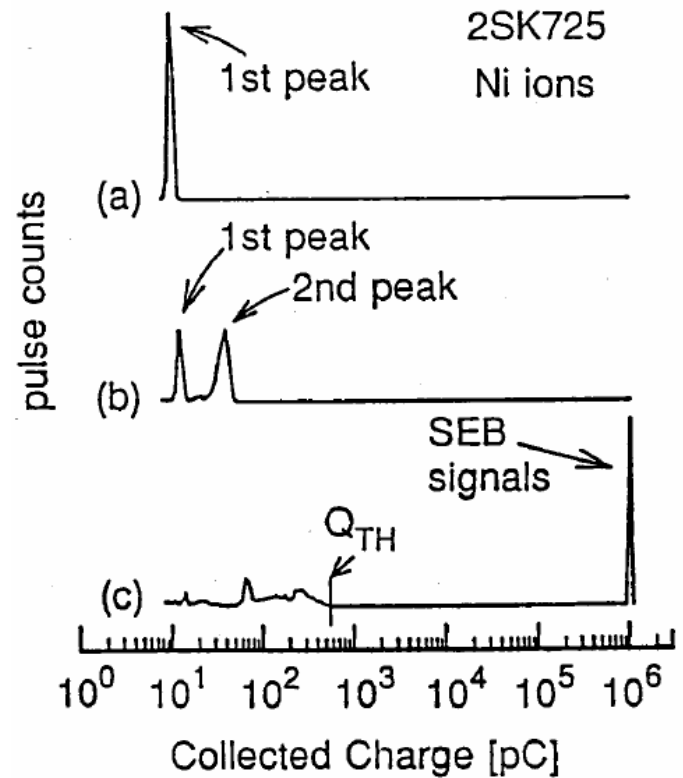
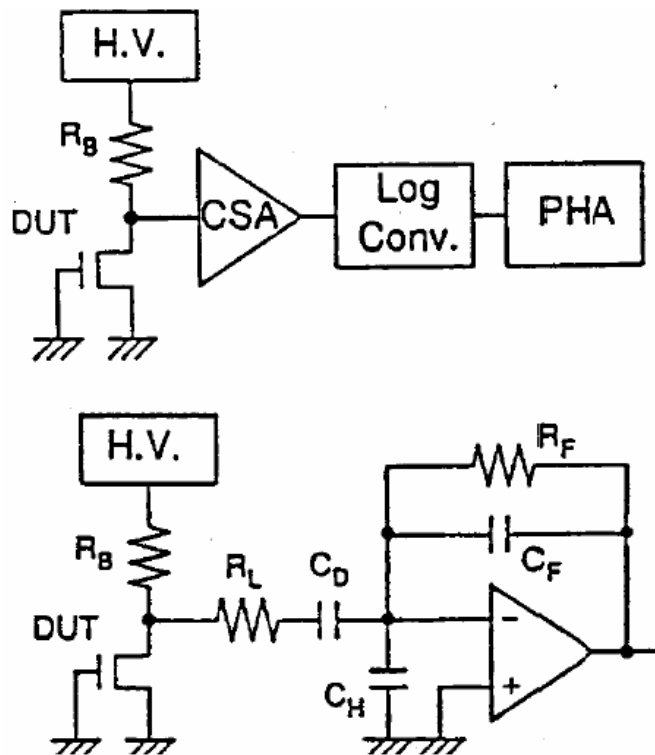
SIRAD



Università degli Studi di Cassino

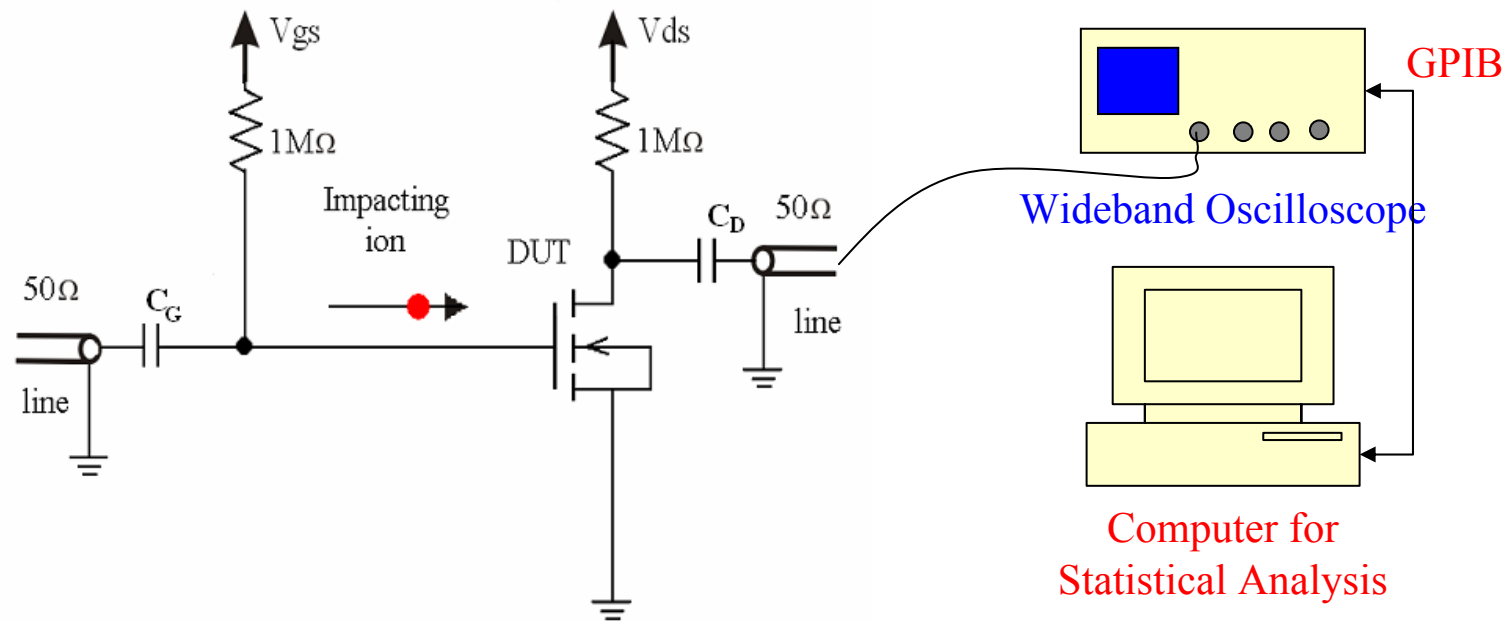


Circuito di Test proposto in letteratura EPIC Spectrum



Kuboyama et al. – IEEE TNS - 1992

IL SET-UP SPERIMENTALE



A large number of events (typically 3000) is acquired and analyzed

SOMMARIO

- Introduzione sui MOSFET di potenza
- Set-up Sperimentale
- **Analisi Statistica**
- Risultati Sperimentali
- Simulazioni 3D
- Conclusioni



SIRAD

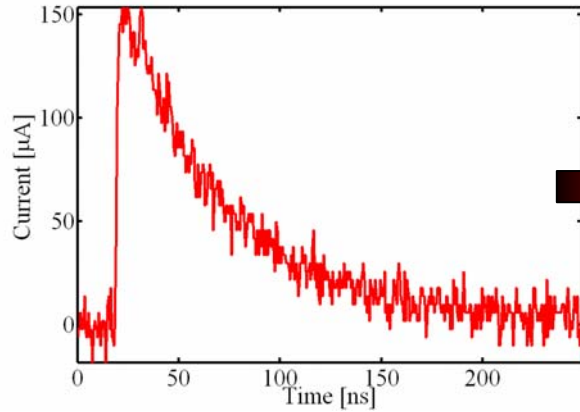


Università degli Studi di Cassino



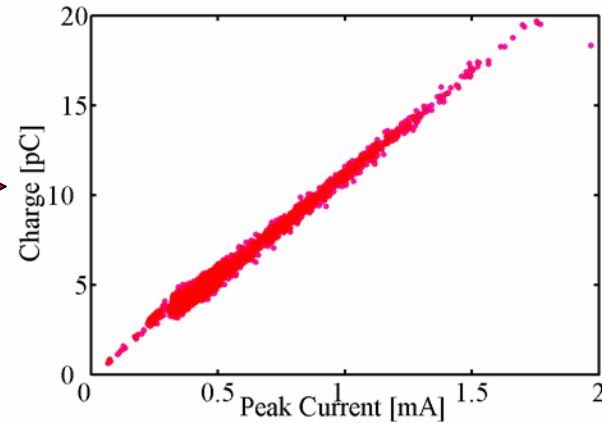
Analisi Statistica

FORME D'ONDA NEL DOMINIO DEL TEMPO

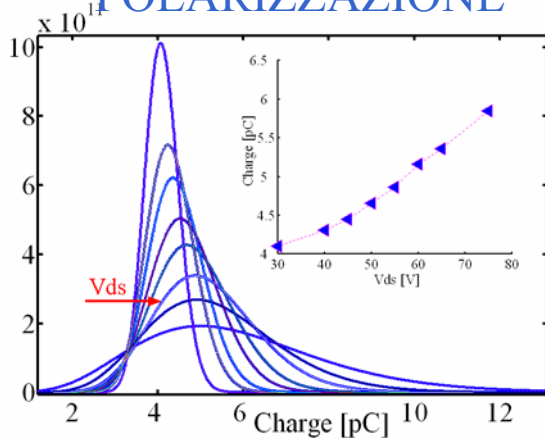


Integrazione
Numerica

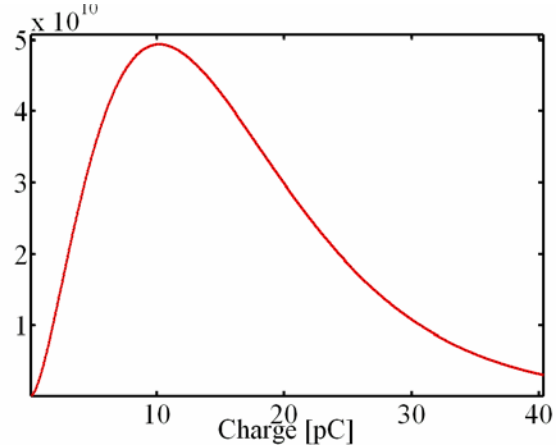
SCATTER PLOT



CARICA MEDIA vs TENSIONE DI POLARIZZAZIONE



FUNZIONE DISTRIBUZIONE



ESTRAZIONE
PARAMETRI
DISTRIBUZIONE
FUNZIONE
DI TIPO Γ



SIRAD



Università degli Studi di Cassino



Analisi Statistica

Funzione distribuzione di tipo Γ

La carica raccolta per una specie ionica assegnata, ad una fissata energia e polarizzazione è ben descritta da una funzione distribuzione di tipo Γ la cui espressione analitica è:

$$f(x|(a,b)) = \begin{cases} \frac{x^{a-1} e^{-x/b}}{b^a \Gamma(a)}, & x > 0 \\ 0, & x \leq 0 \end{cases}$$

dove i parametri a e b vengono calcolati con una tecnica di stima basata sul criterio della massima verisimiglianza (MLE)



SIRAD



Università degli Studi di Cassino



SOMMARIO

- Introduzione sui MOSFET di potenza
- Set-up Sperimentale
- Analisi Statistica
- **Risultati Sperimentali**
- Simulazioni 3D
- Conclusioni



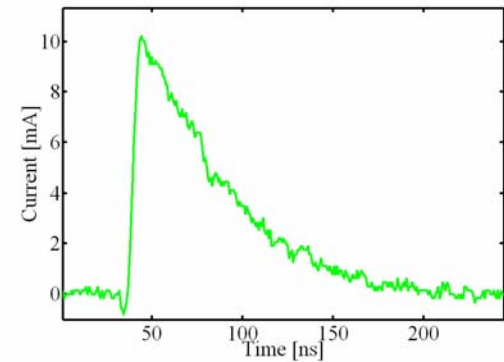
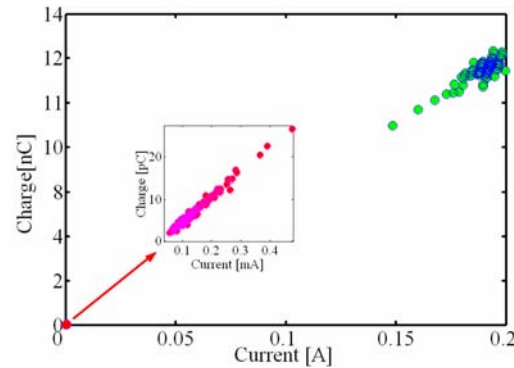
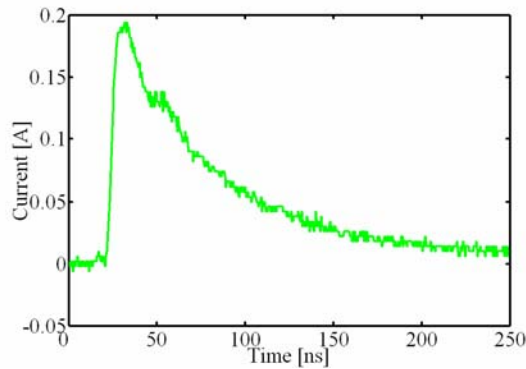
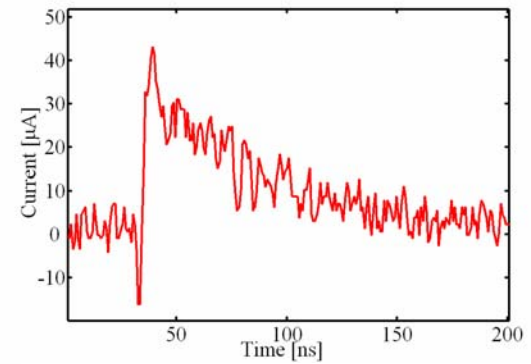
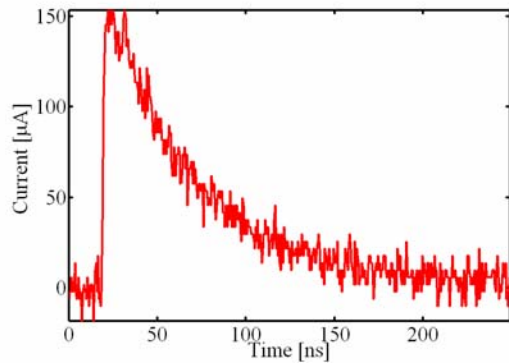
SIRAD



Università degli Studi di Cassino



Il comportamento dei MOSFET di bassa tensione (30V)



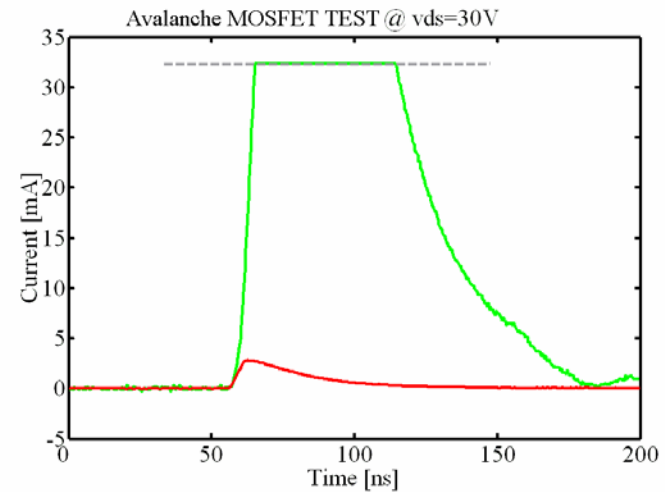
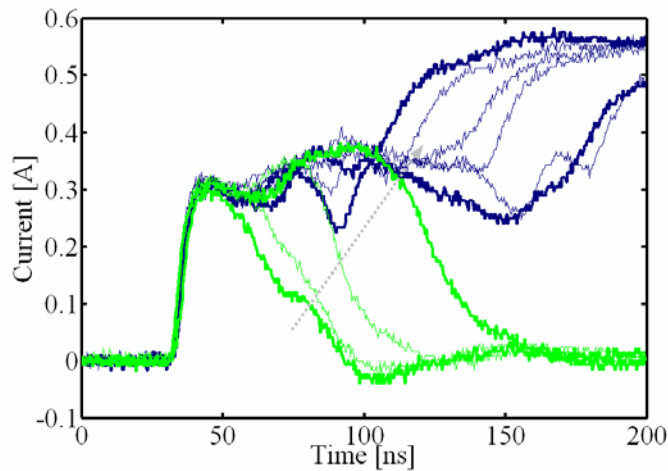
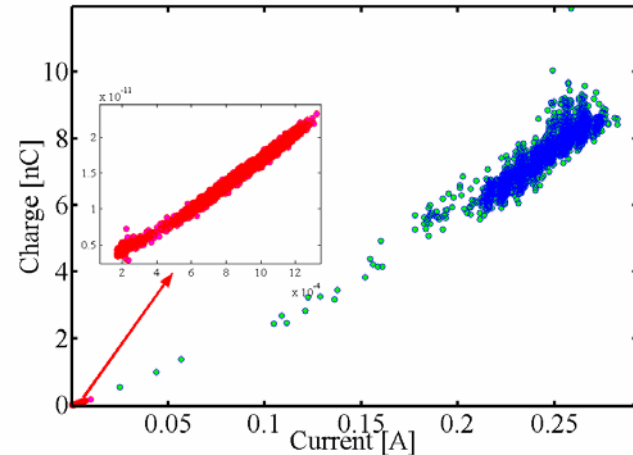
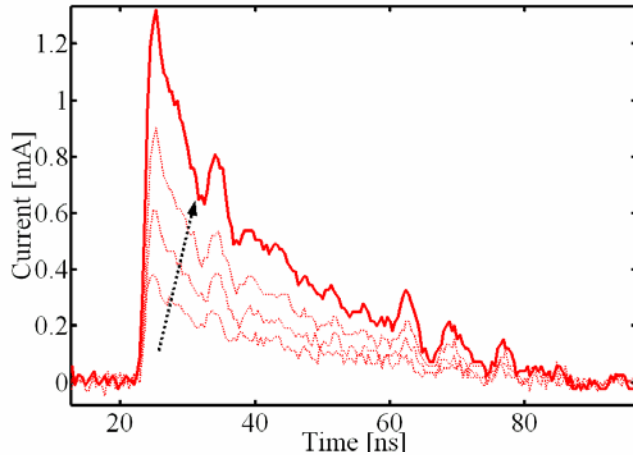
SIRAD



Università degli Studi di Cassino



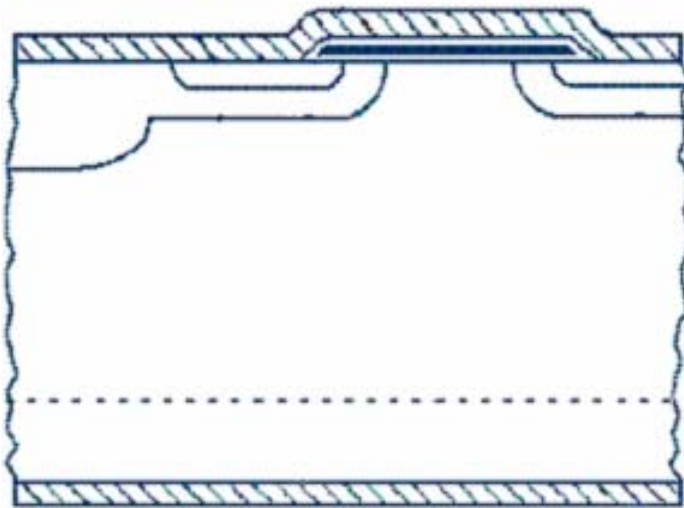
Il comportamento dei MOSFET di bassa tensione (100V)



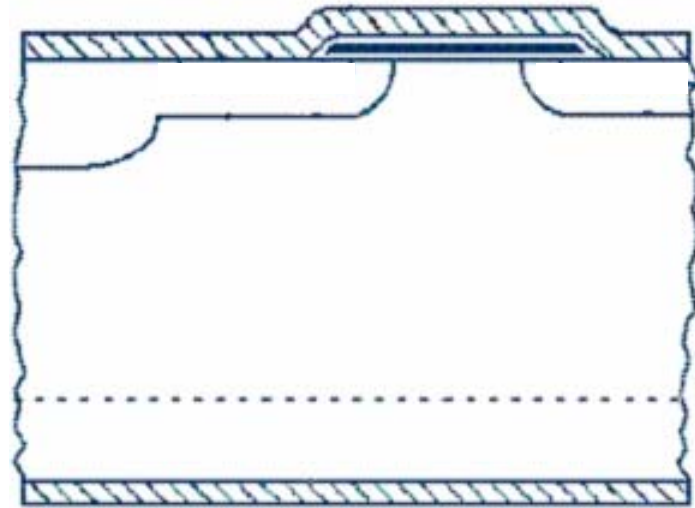
Il comportamento dei MOSFET di media tensione (200V)

Strutture Studiate

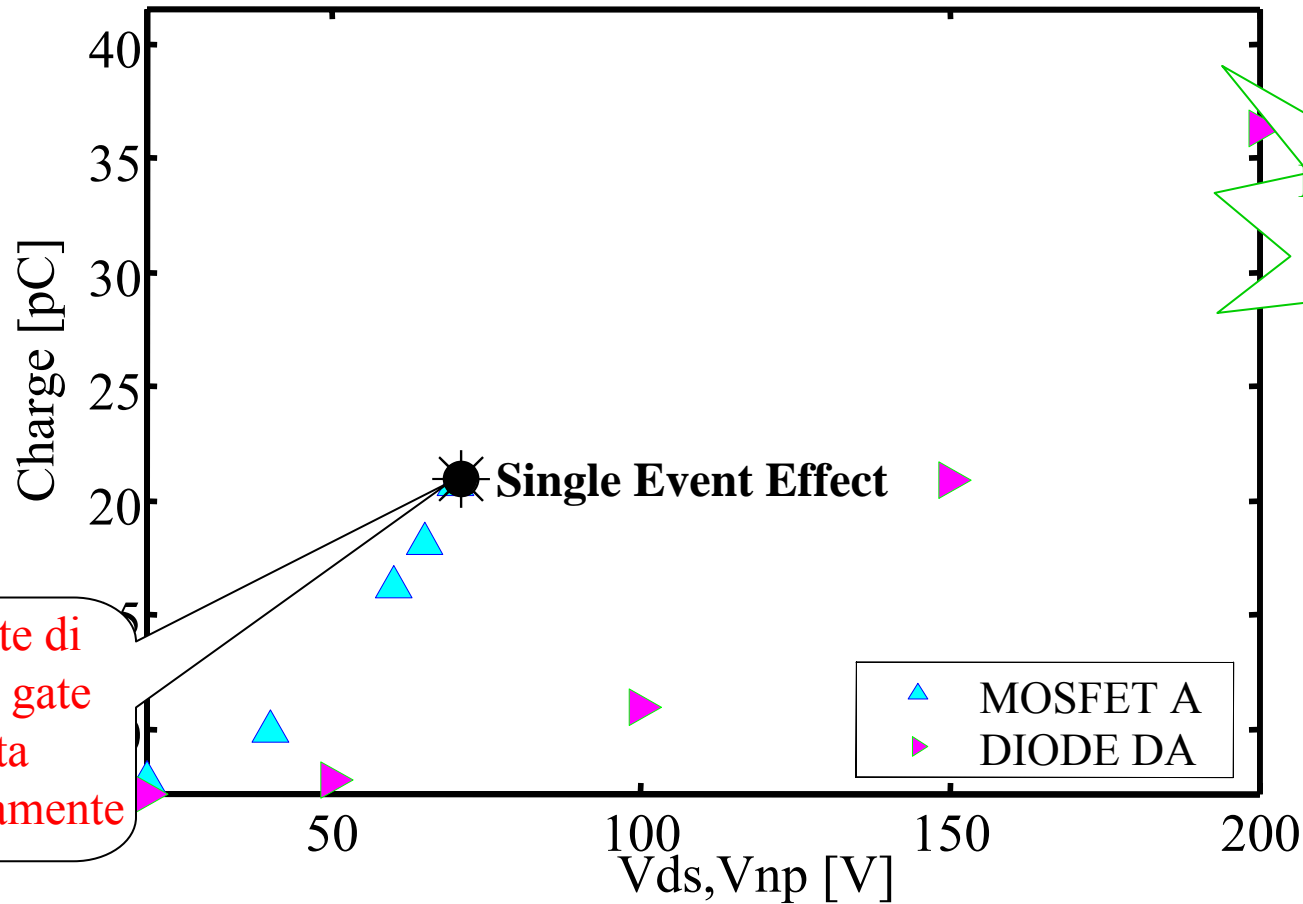
MOSFET



DIODO

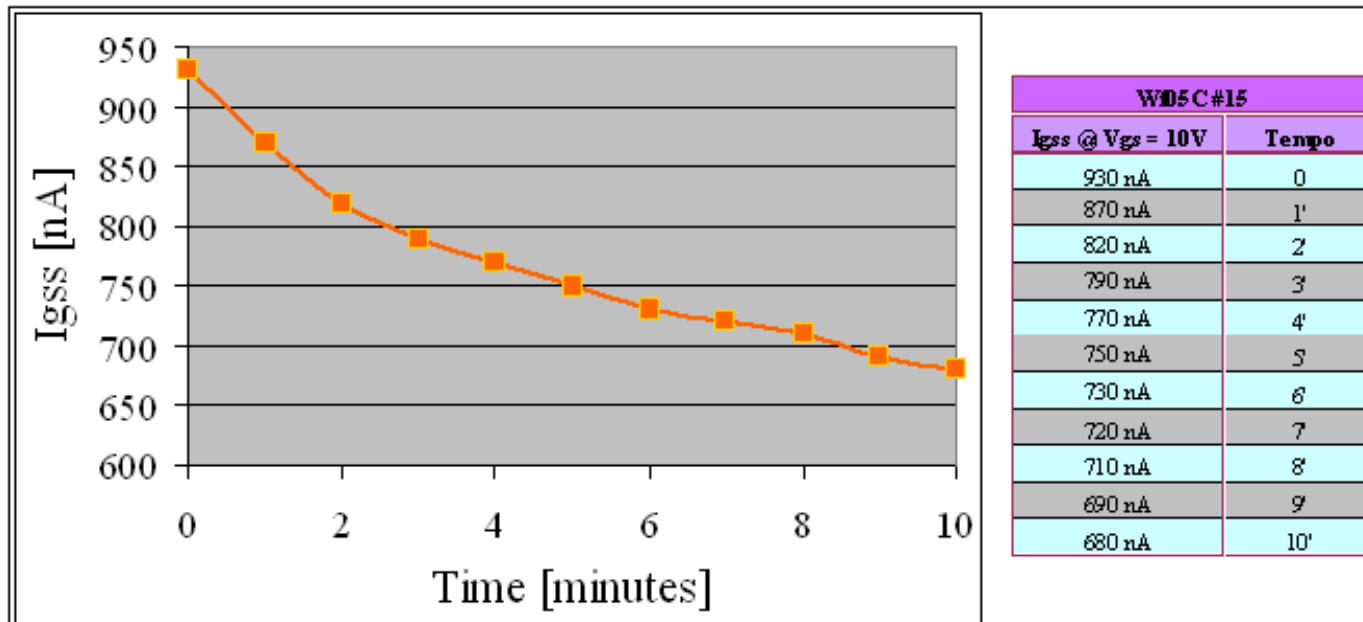


Il comportamento dei MOSFET di media tensione (200V)

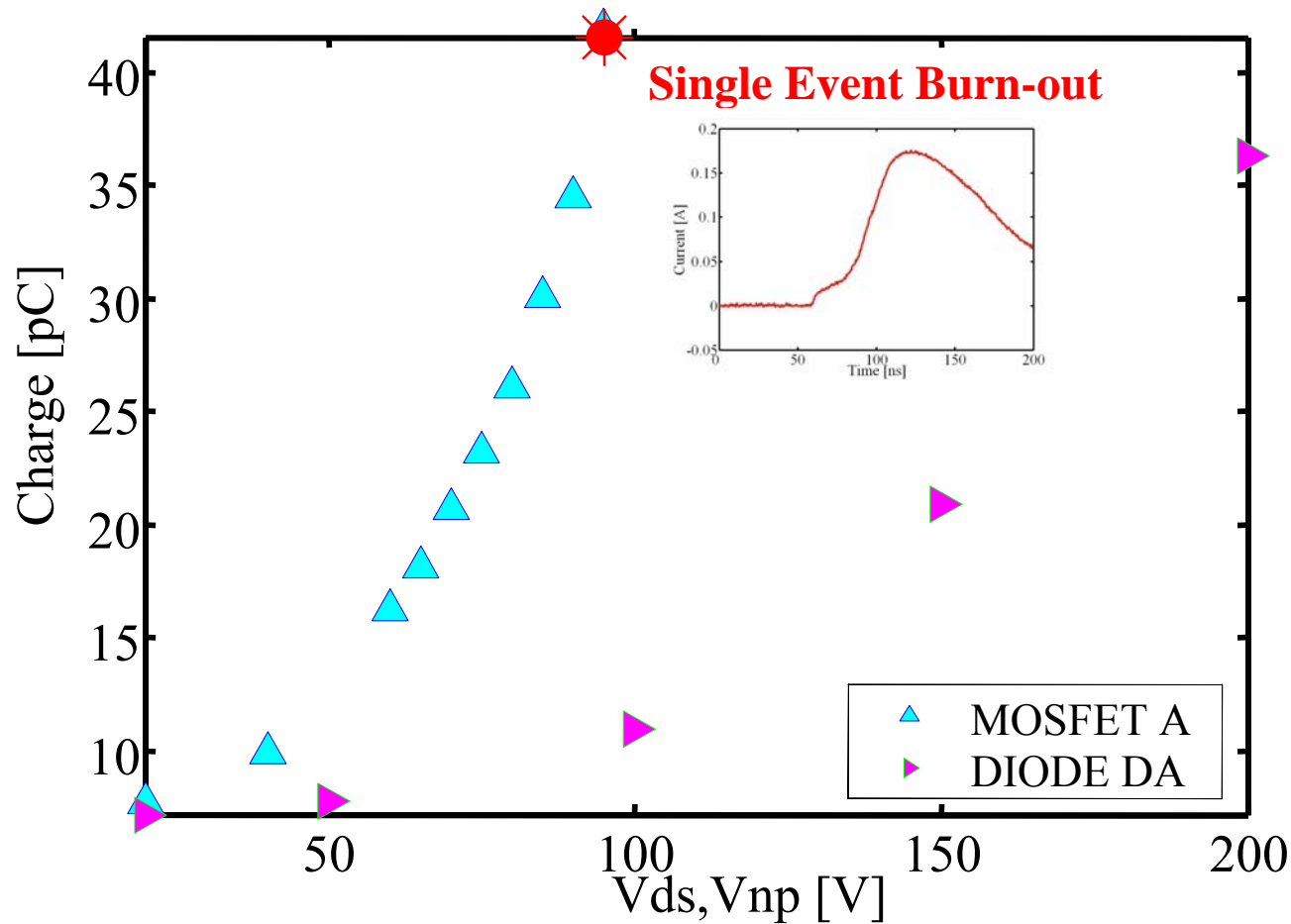


MOSFET da 200V

Decadimento della corrente di leakage di gate dopo l'irraggiamento



Il comportamento dei MOSFET di media tensione (200V)



SOMMARIO

- Introduzione sui MOSFET di potenza
- Set-up Sperimentale
- Analisi Statistica
- Risultati Sperimentali
- Simulazioni 3D
- Conclusioni



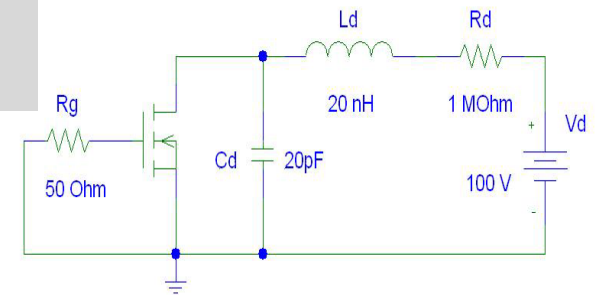
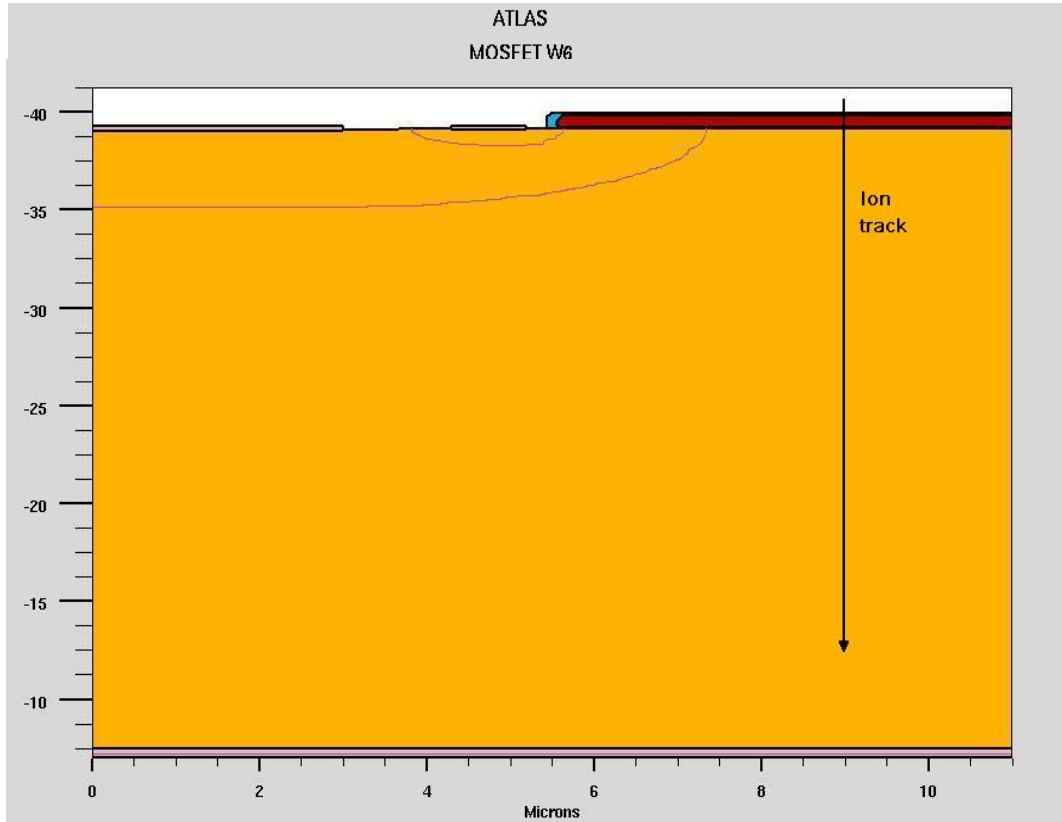
SIRAD



Università degli Studi di Cassino

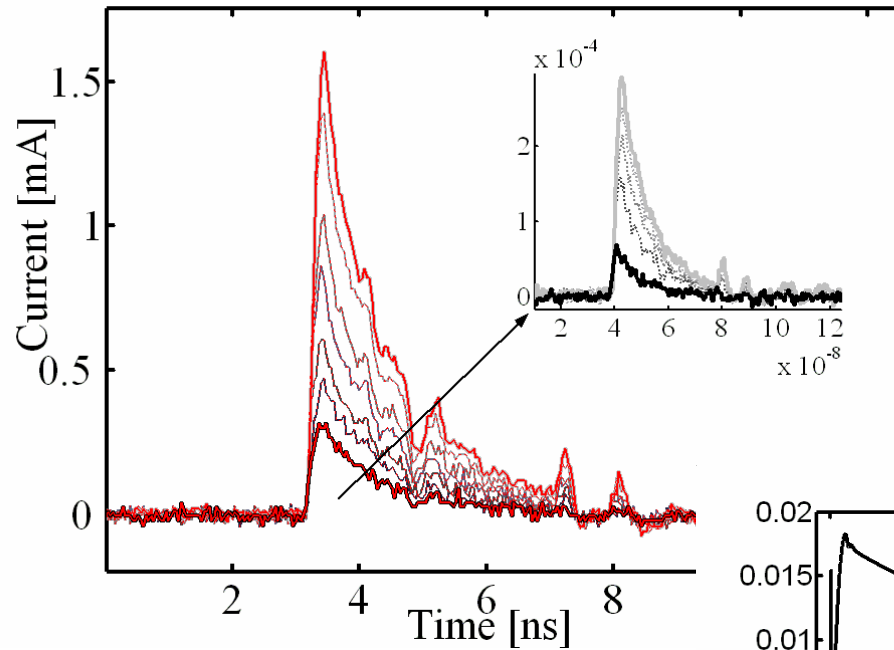


MOSFET da 200V



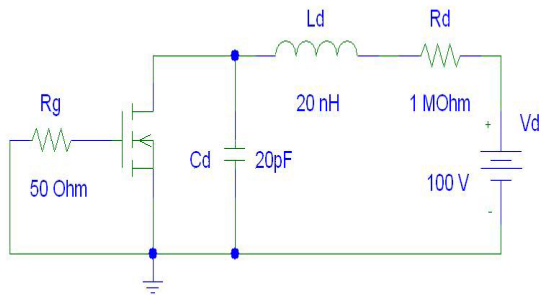
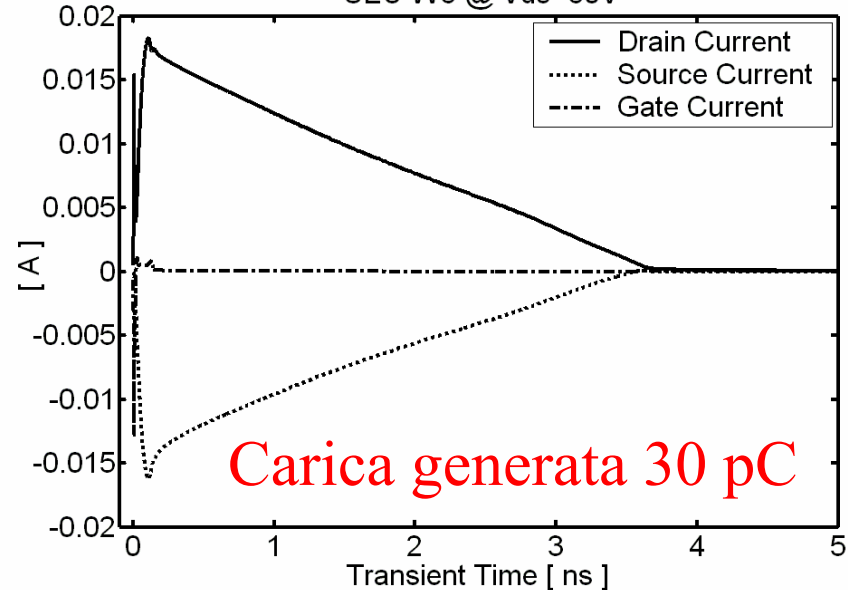
Forme d'onda

Sperimentali



Simulate

SEU W6 @ $V_{ds}=60V$



SIMULAZIONE A 60V

Inizio danno di gate



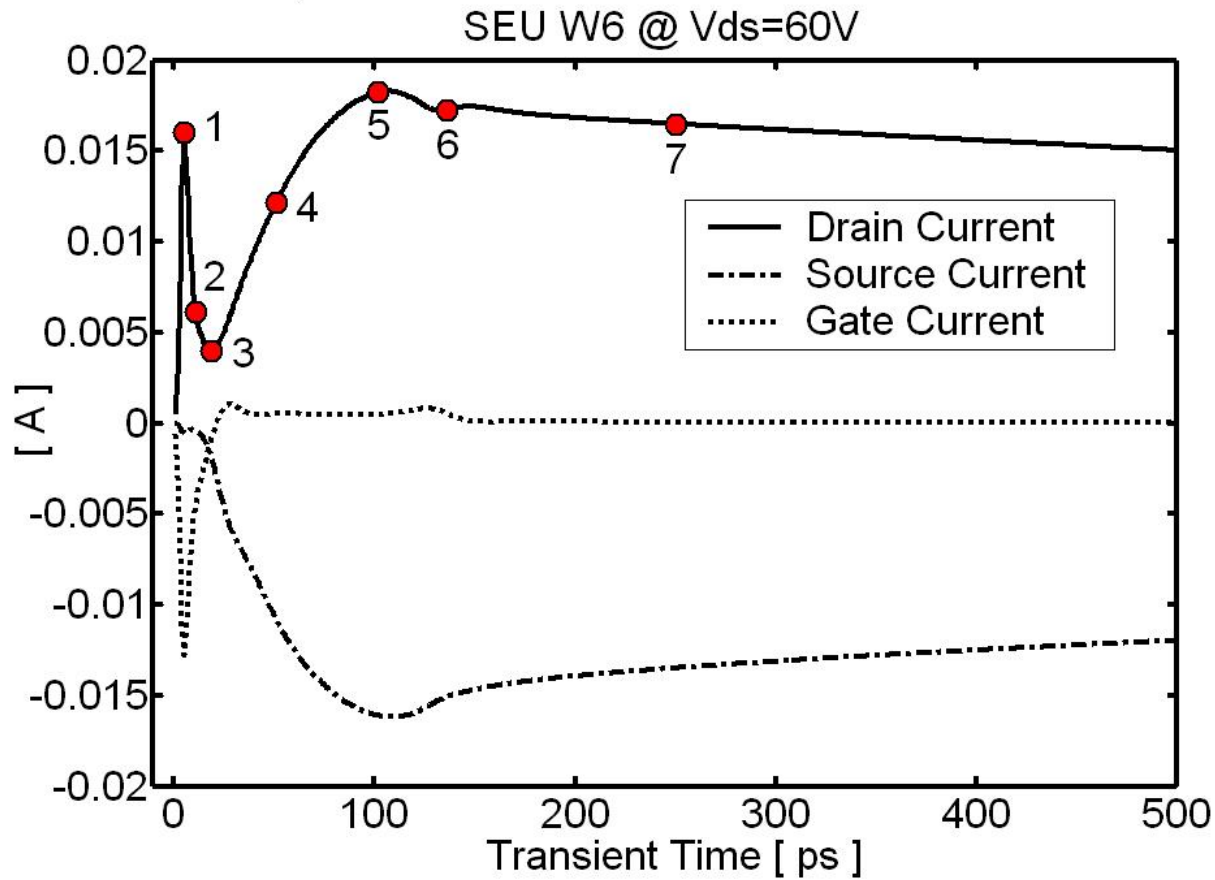
SIRAD



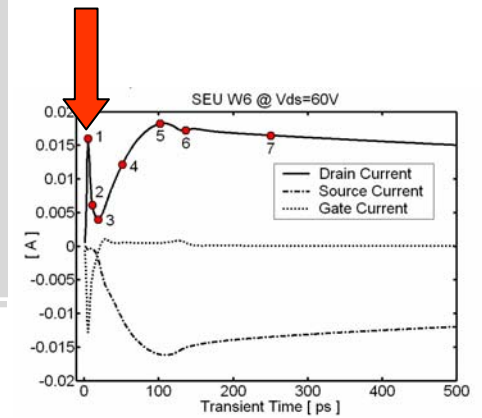
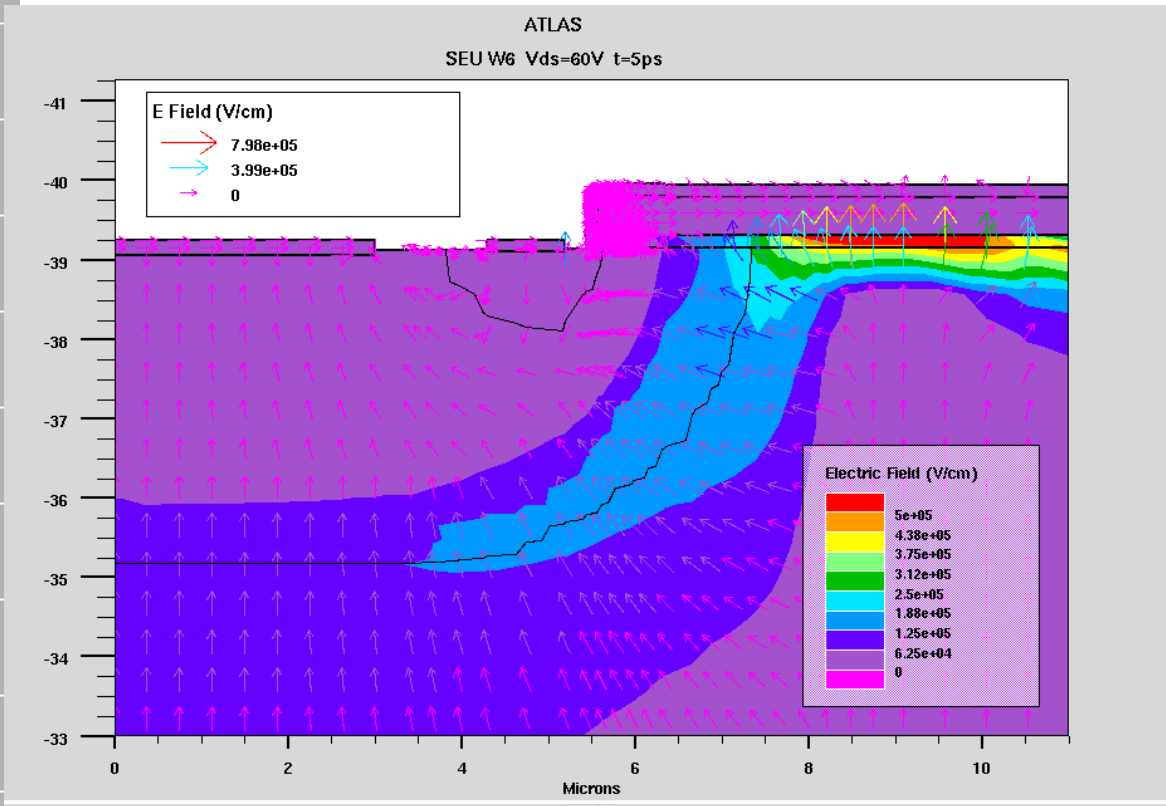
Università degli Studi di Cassino



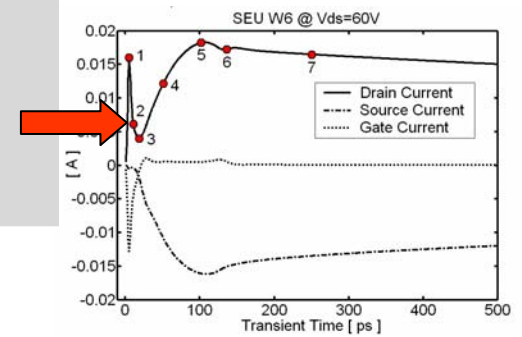
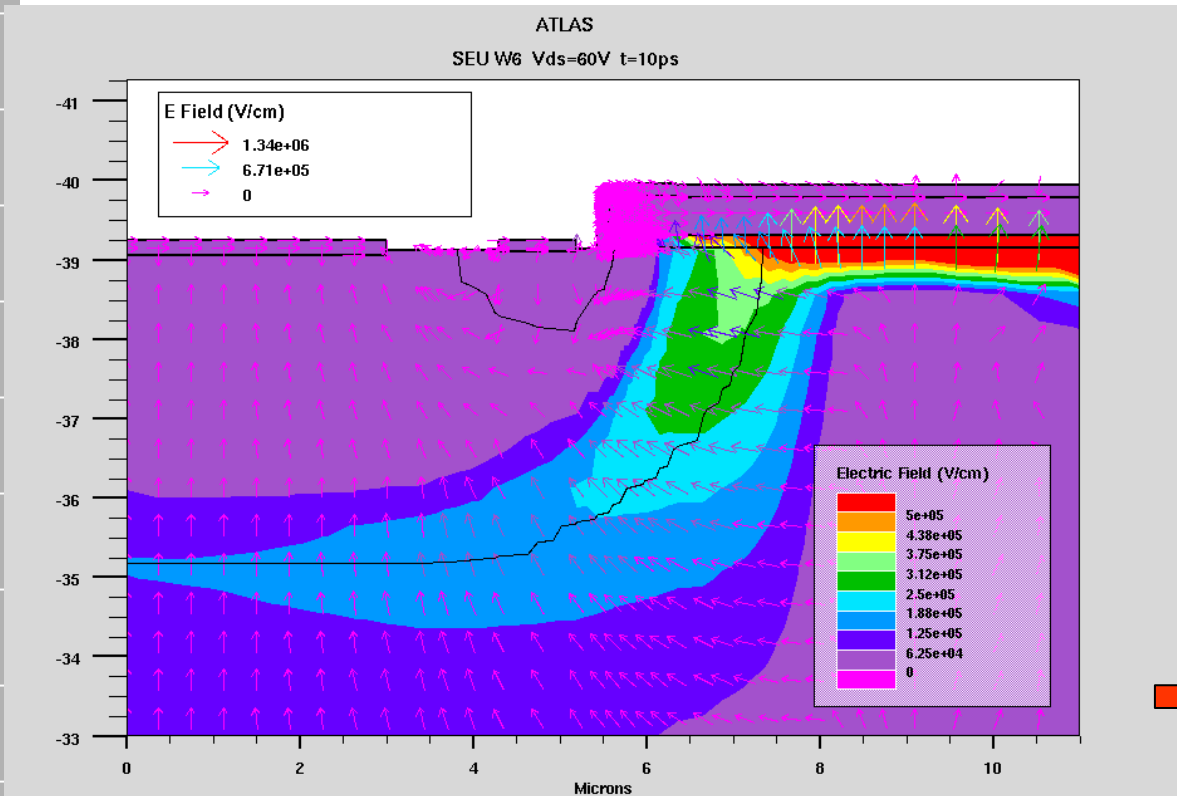
Forme d'onda simulate (Zoom)



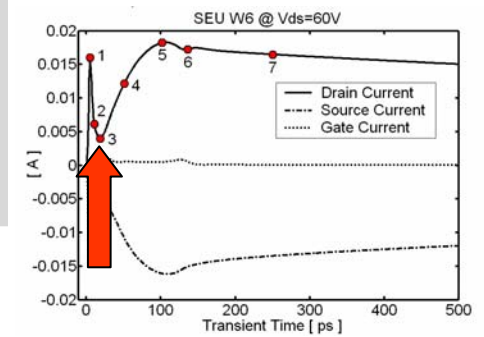
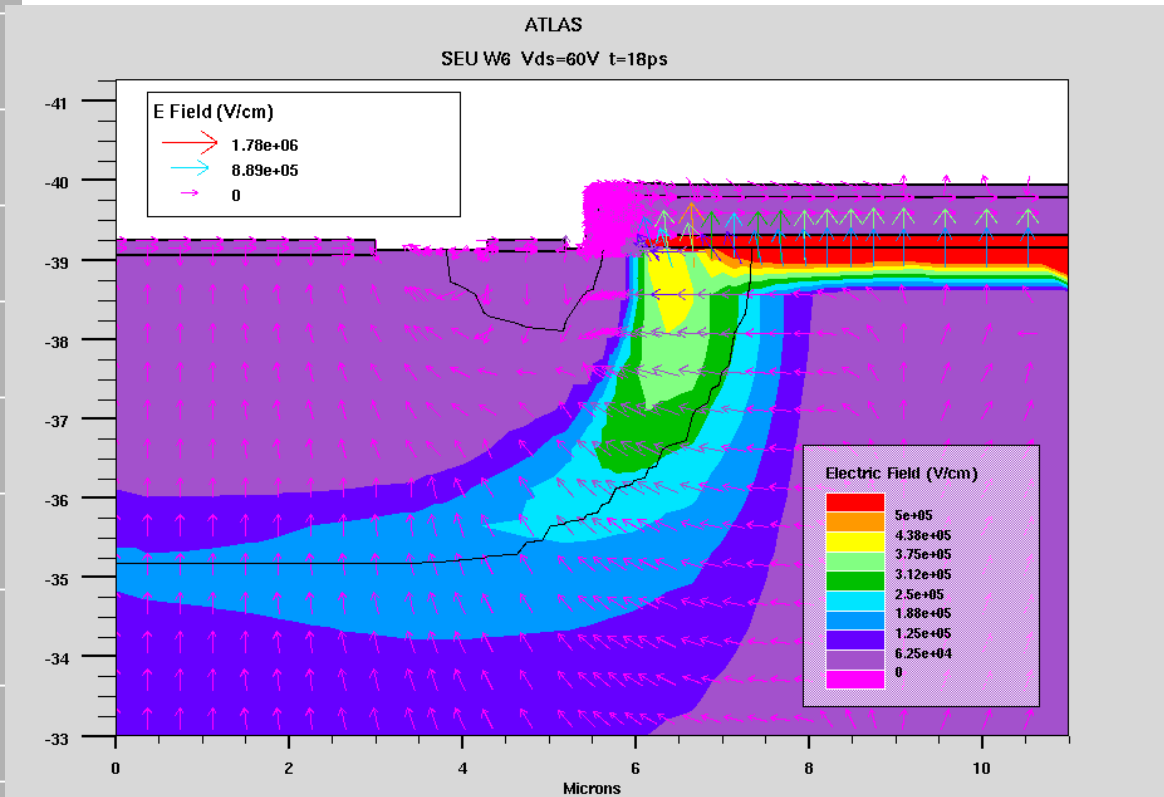
Campo elettrico



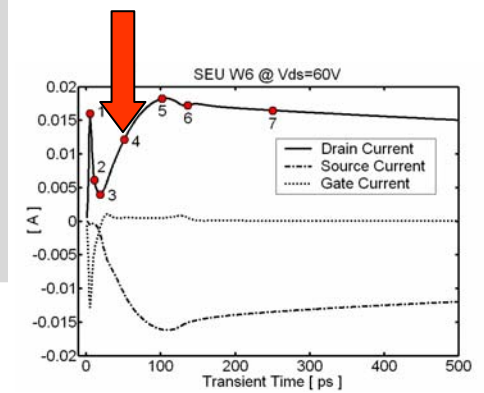
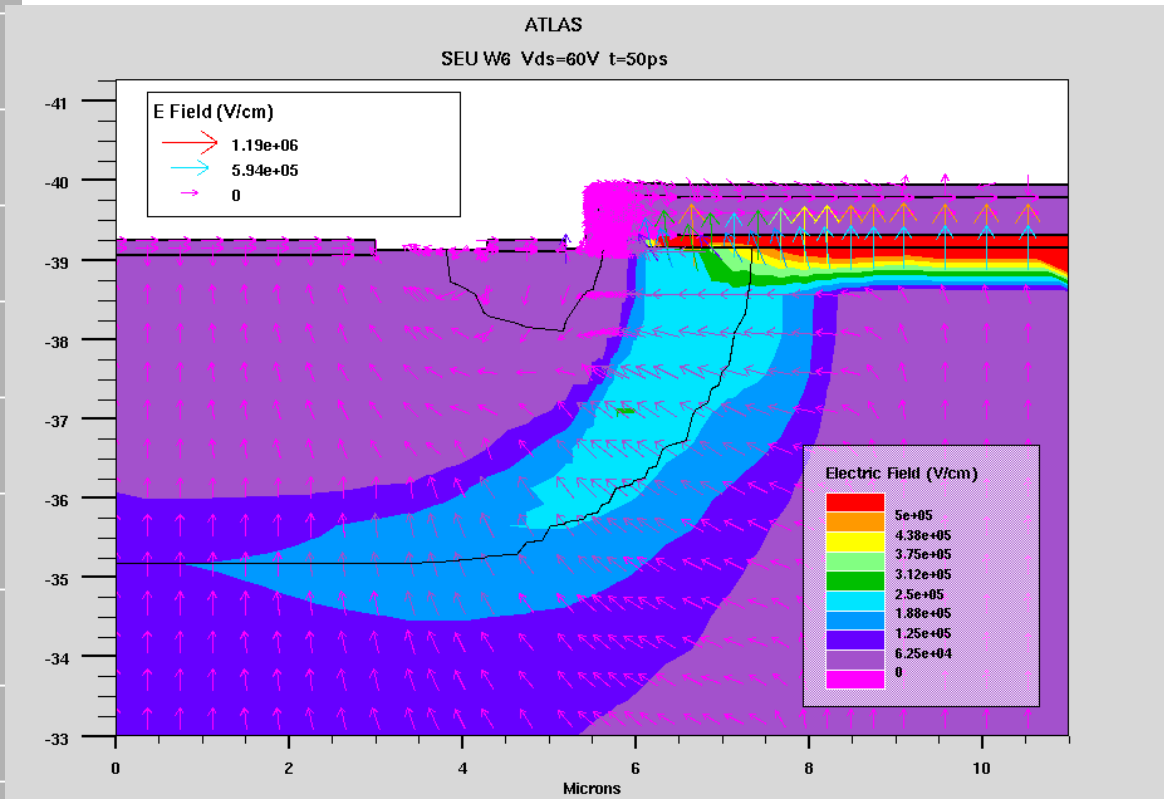
Campo elettrico



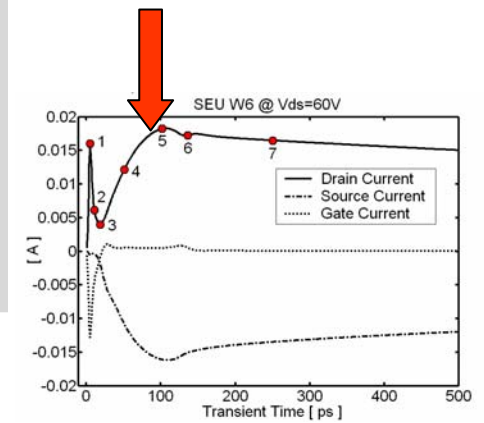
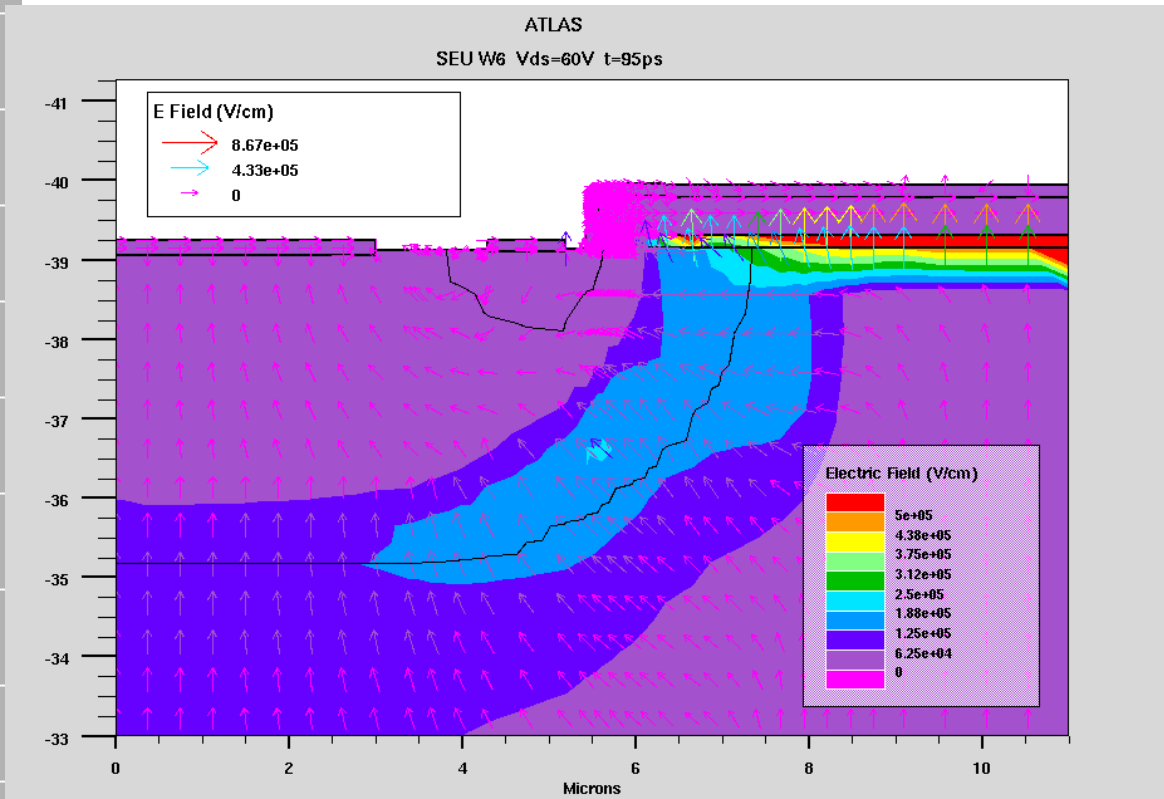
Campo elettrico



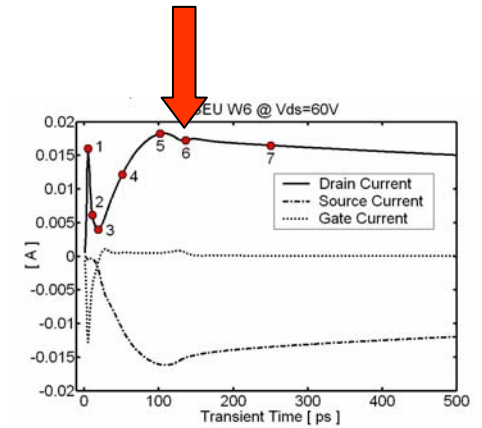
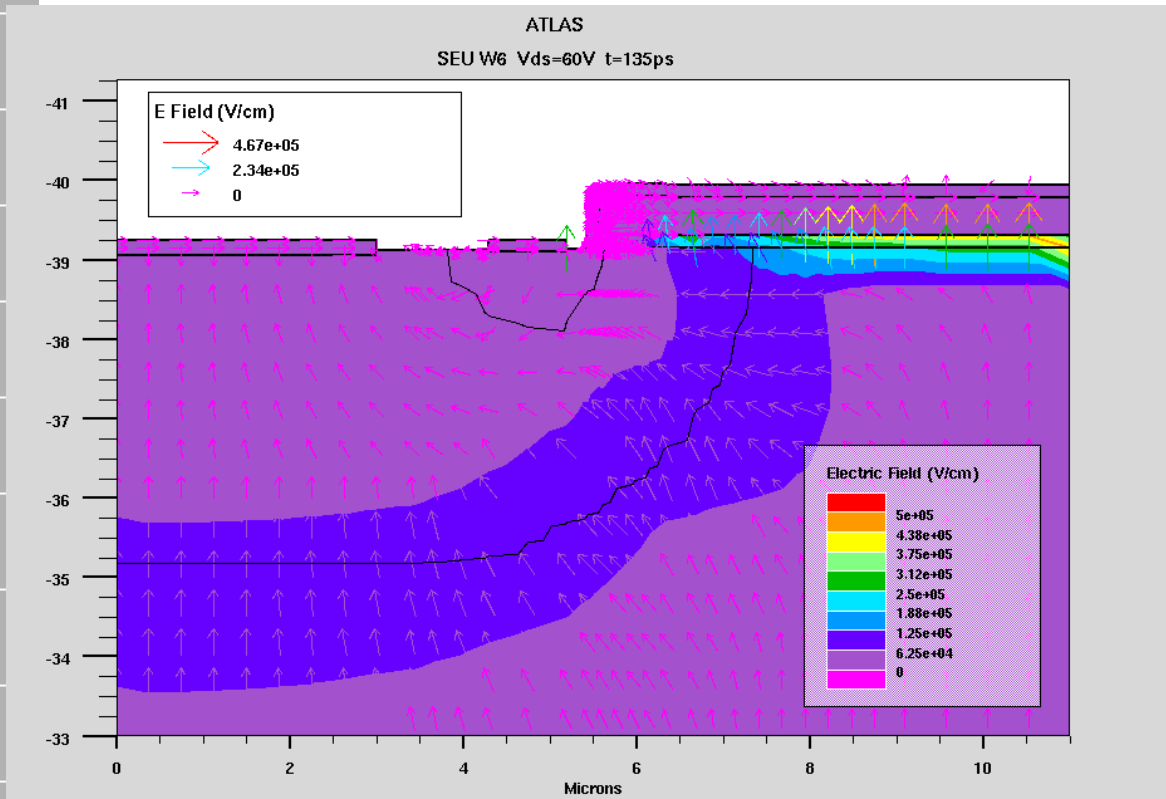
Campo elettrico



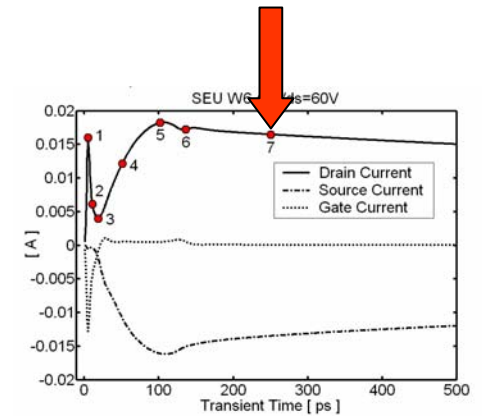
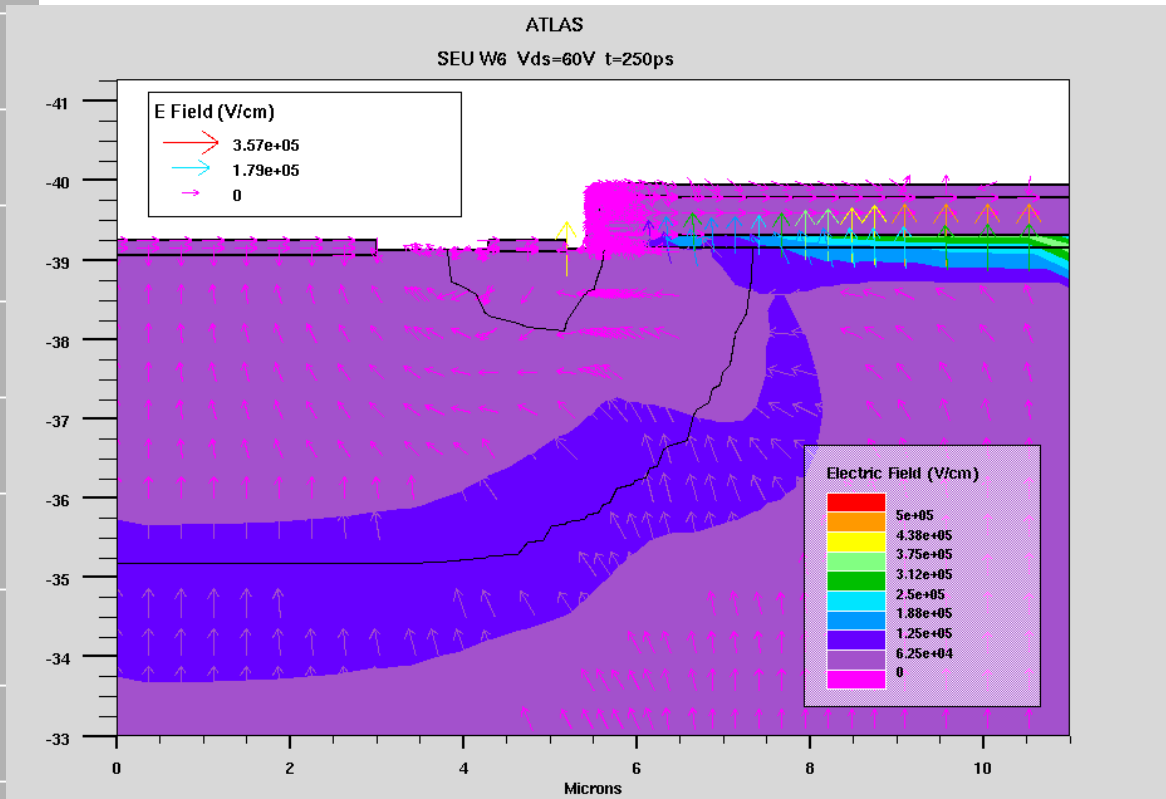
Campo elettrico



Campo elettrico



Campo elettrico



SIMULAZIONE A 100V SEB del MOSFET



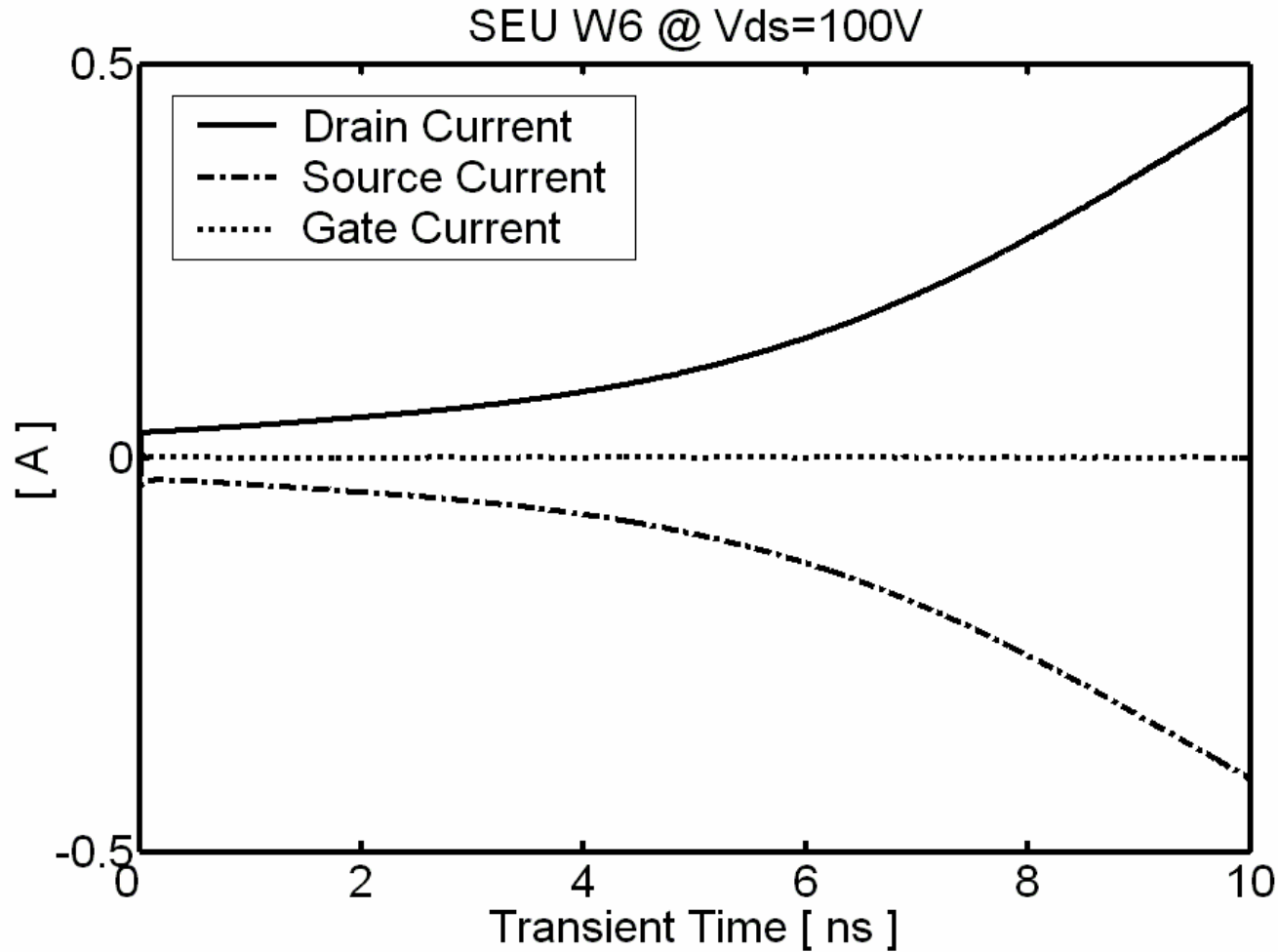
SIRAD



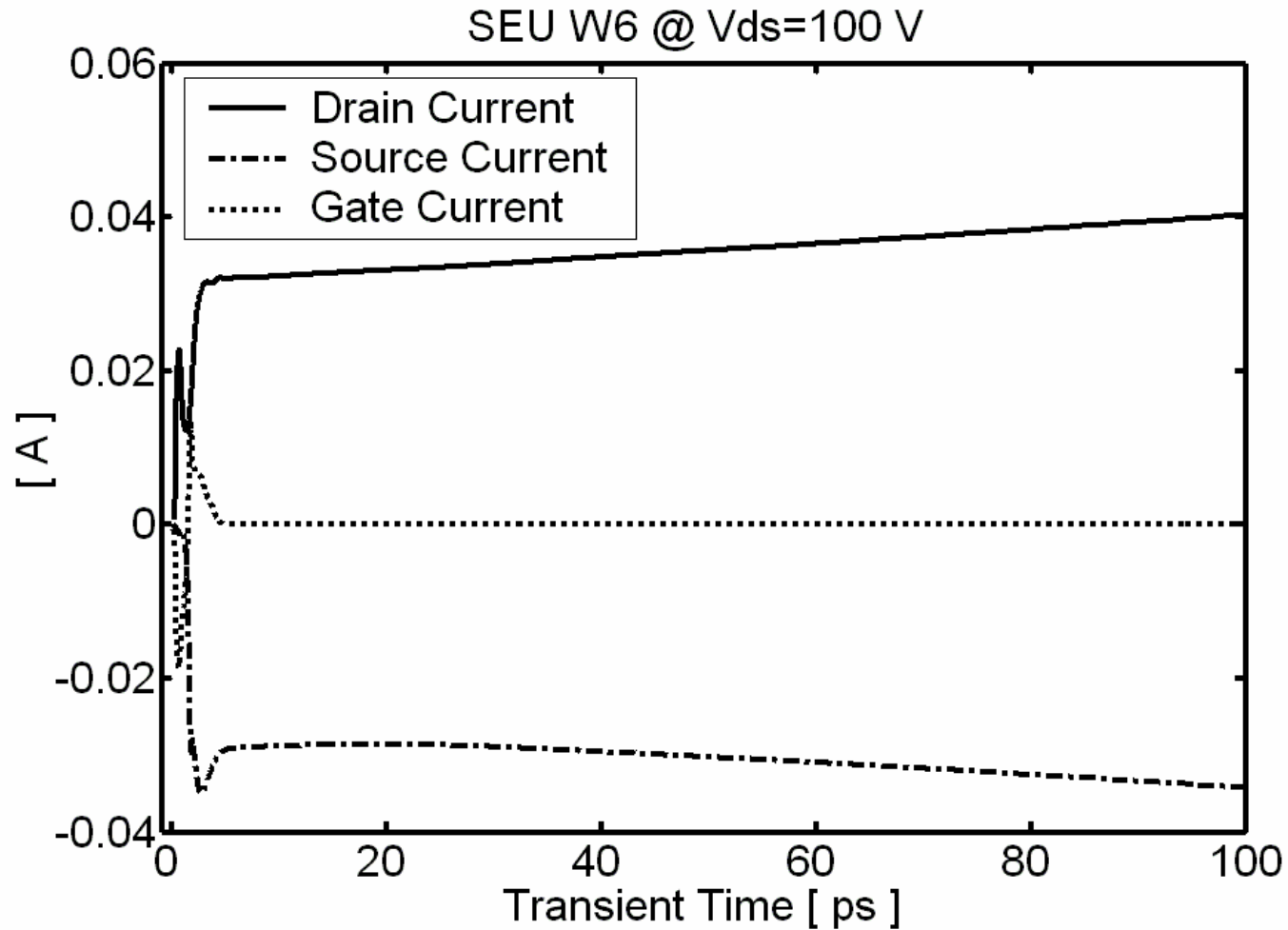
Università degli Studi di Cassino



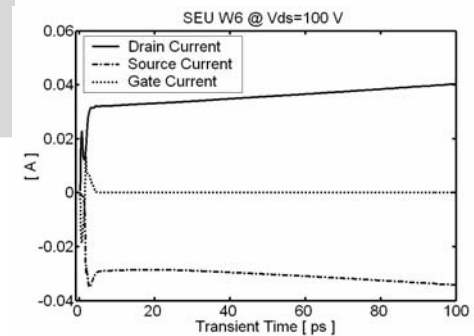
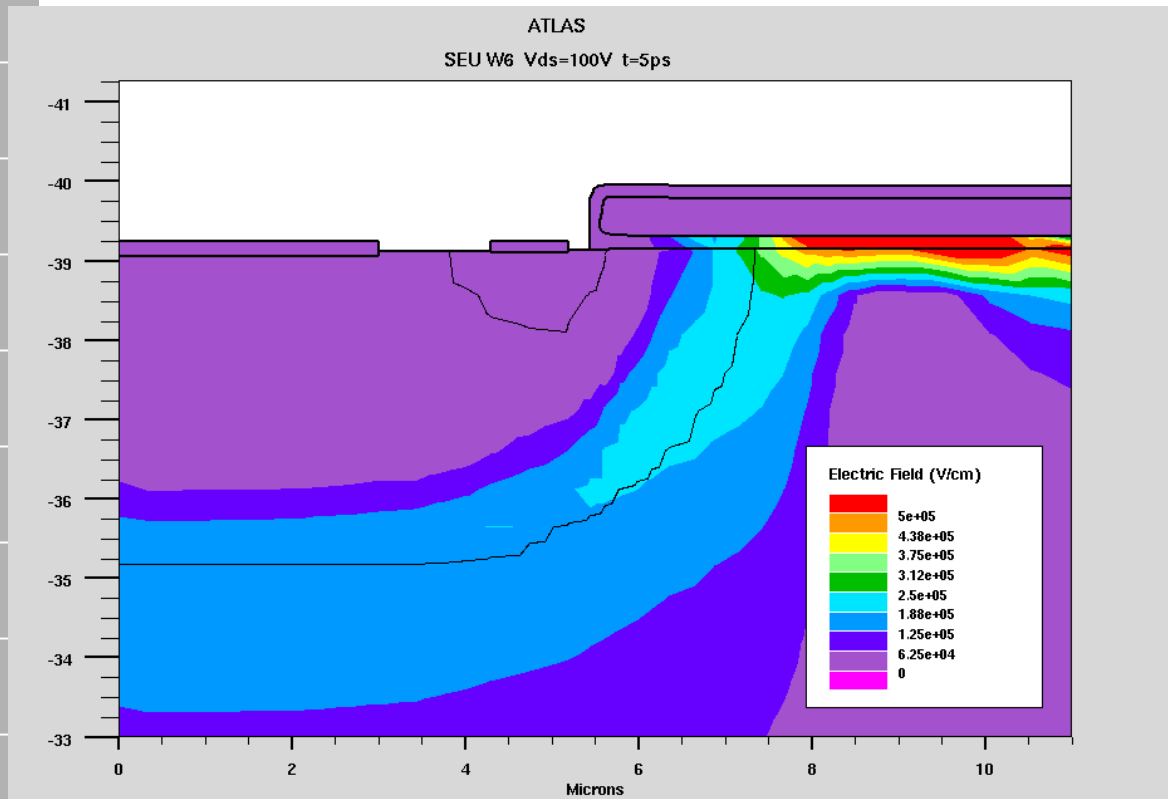
Forme d'onda simulate 100V



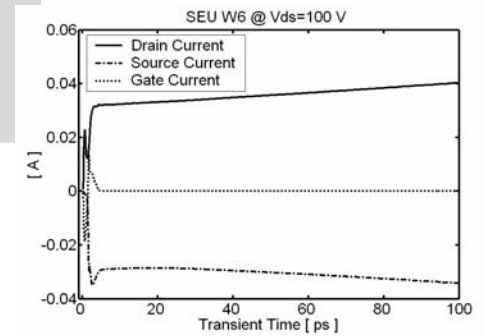
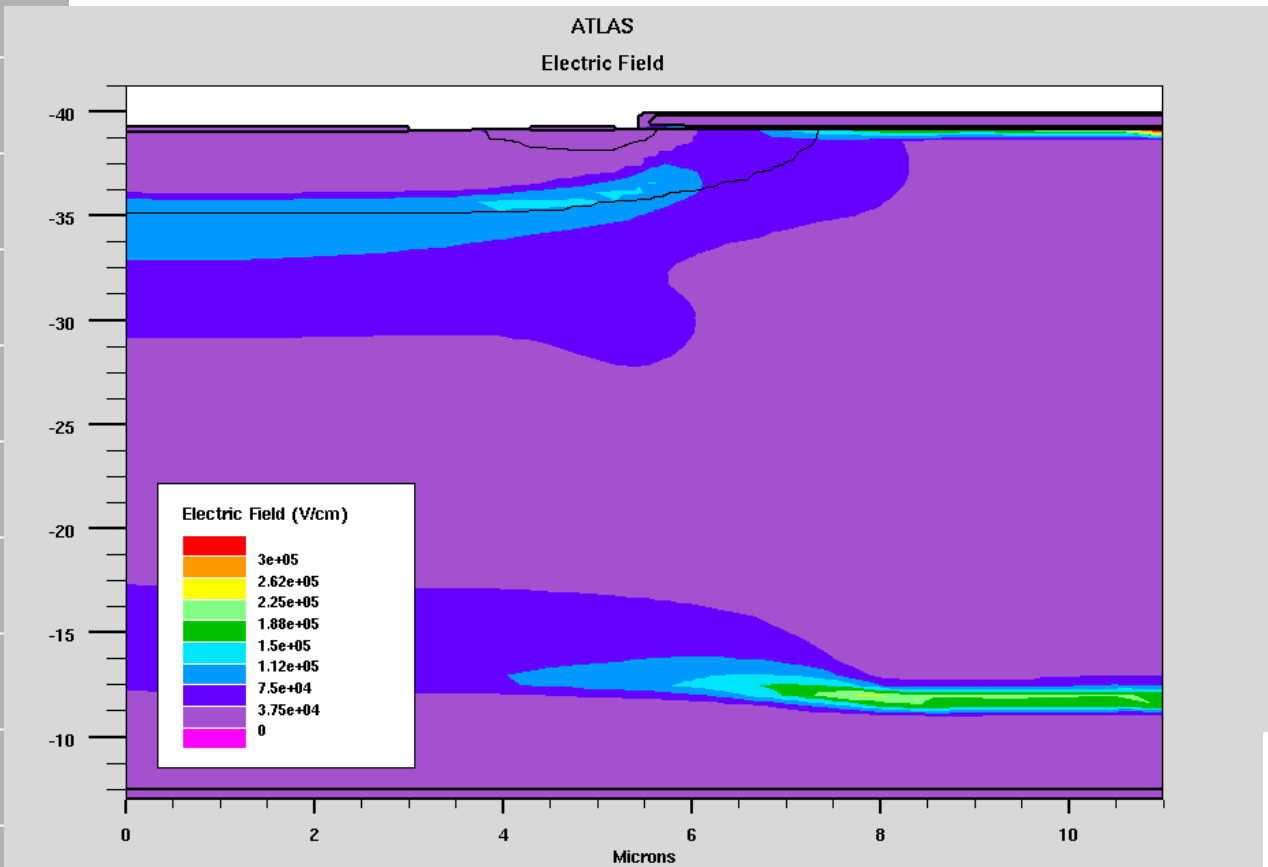
Forme d'onda simulate 100V (Zoom)



Campo elettrico (5ps)



Campo elettrico (35ps)



SIMULAZIONE DIODO A 100V



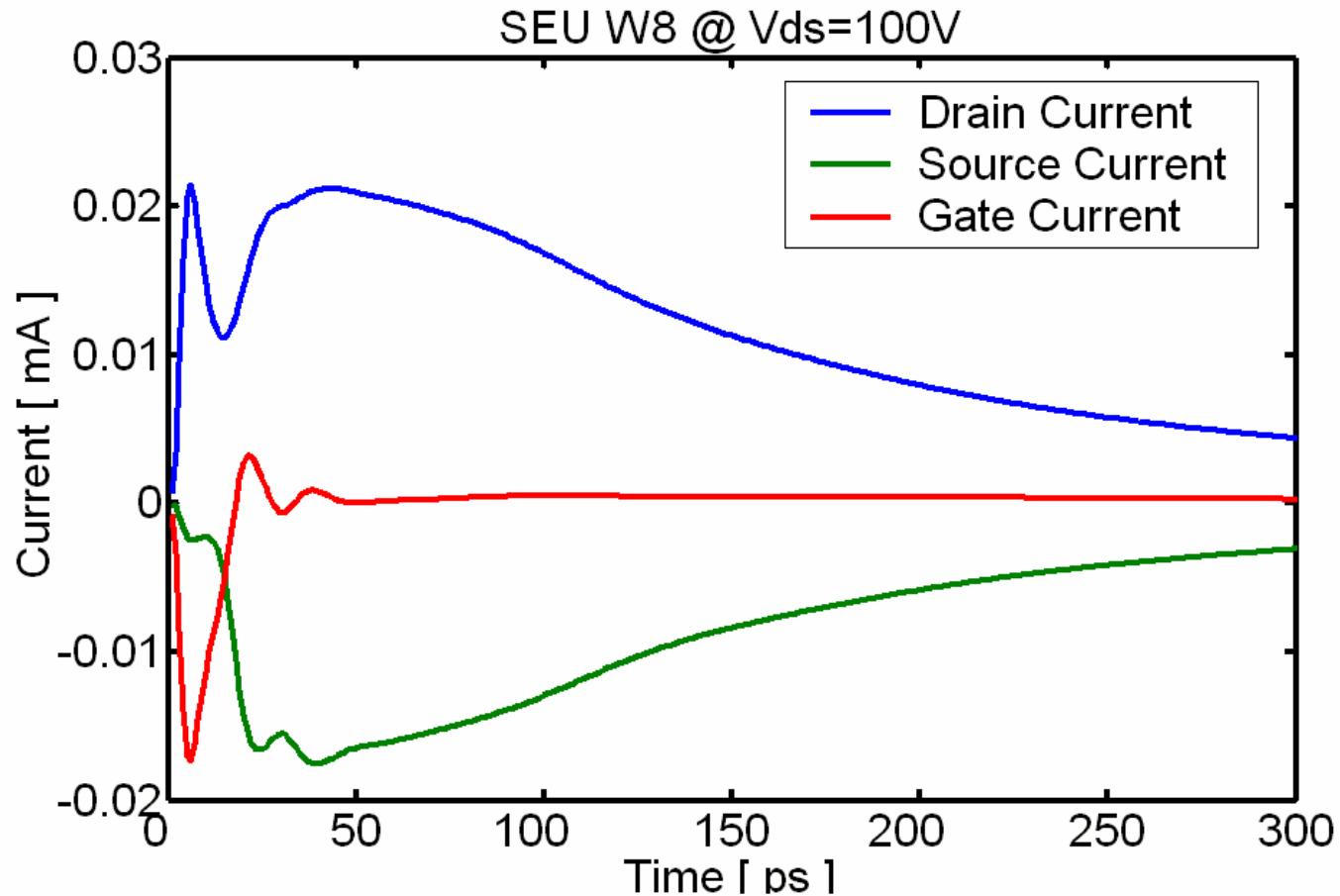
SIRAD



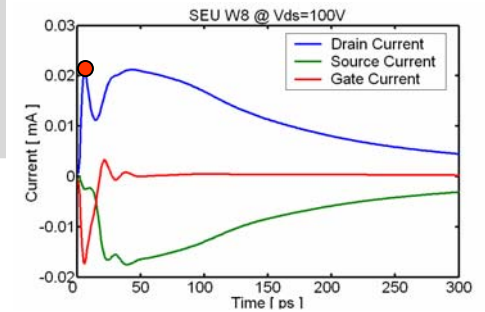
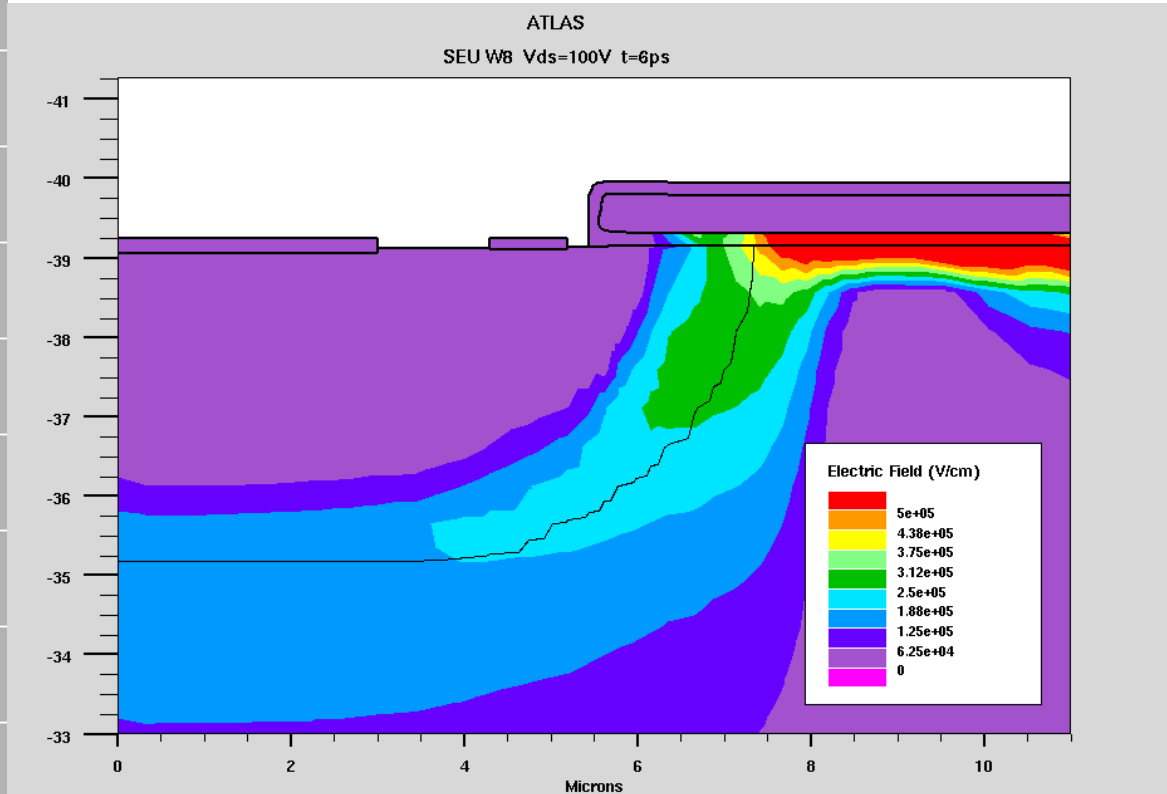
Università degli Studi di Cassino



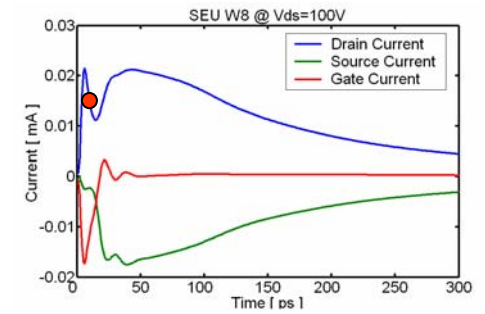
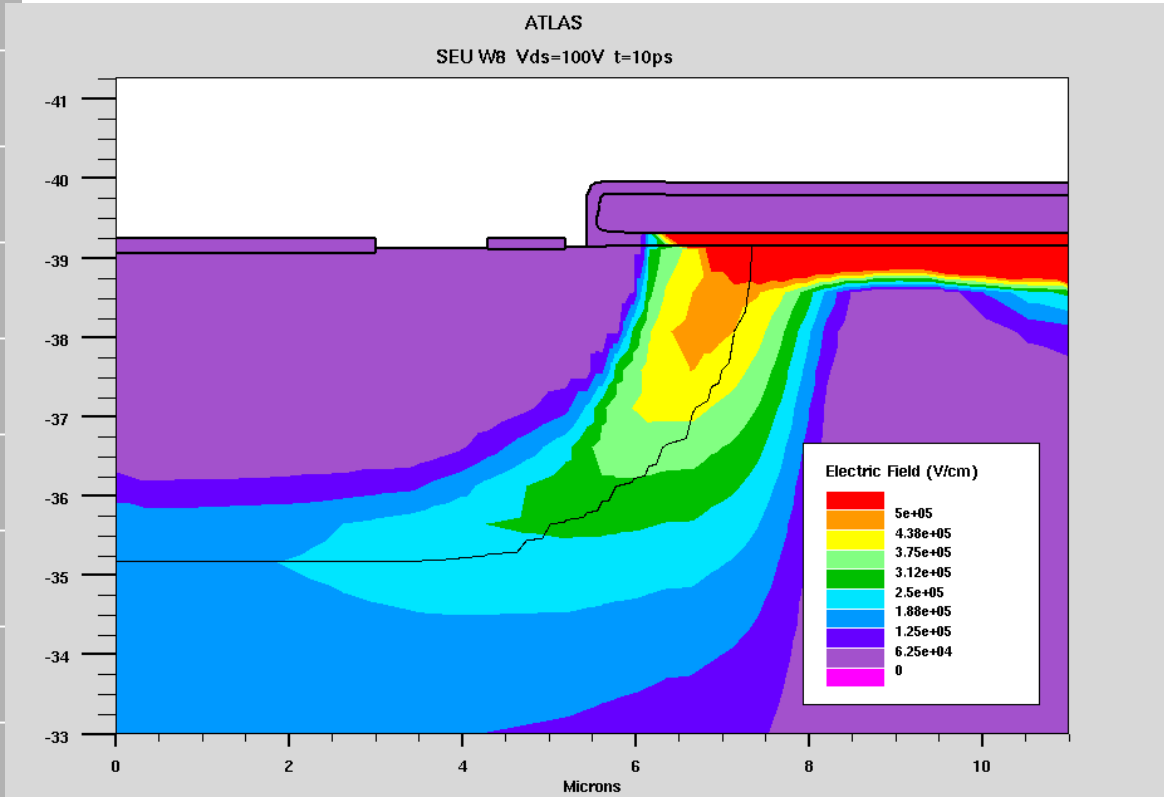
Forme d'onda simulate (Struttura diodica)



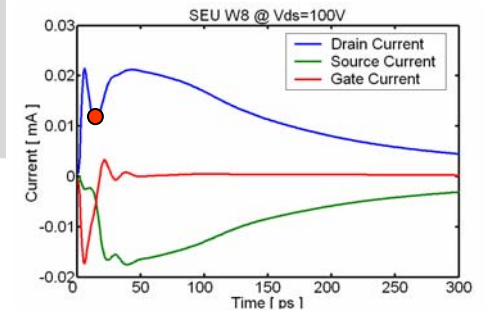
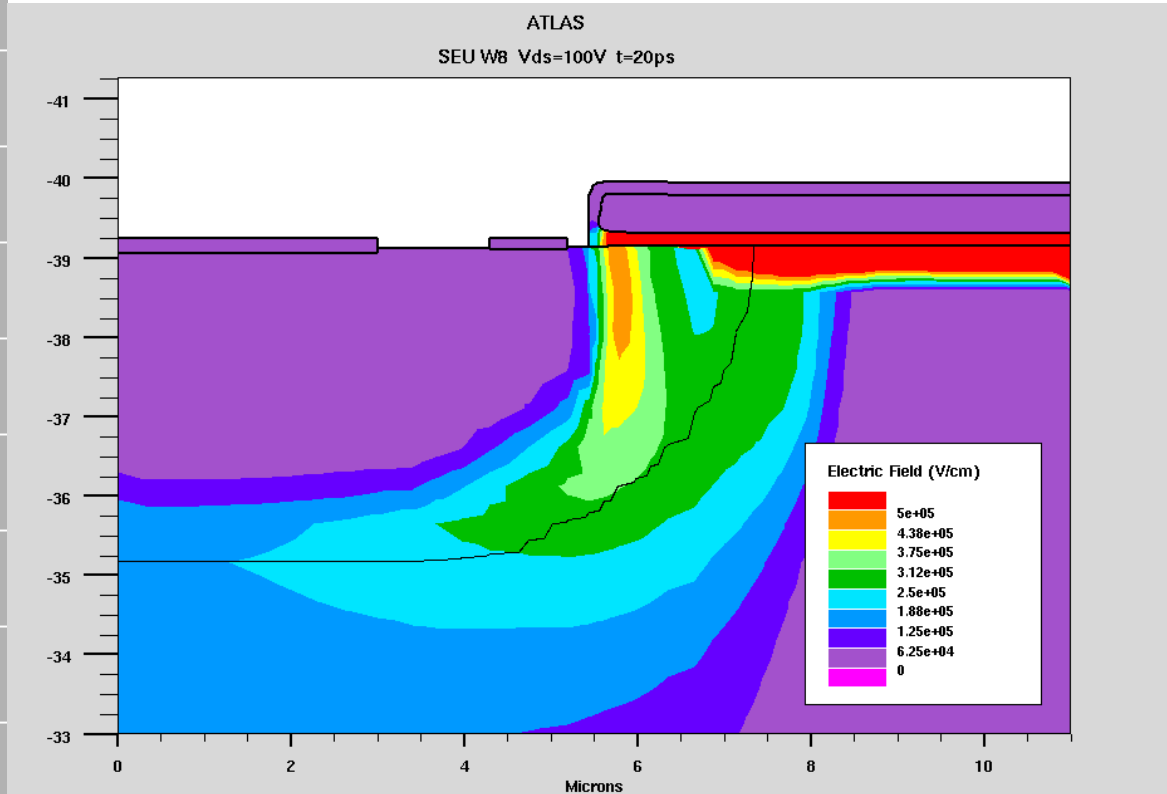
Campo elettrico



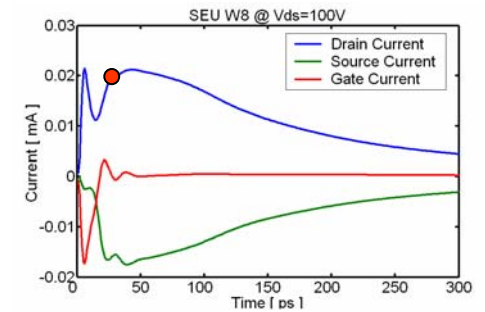
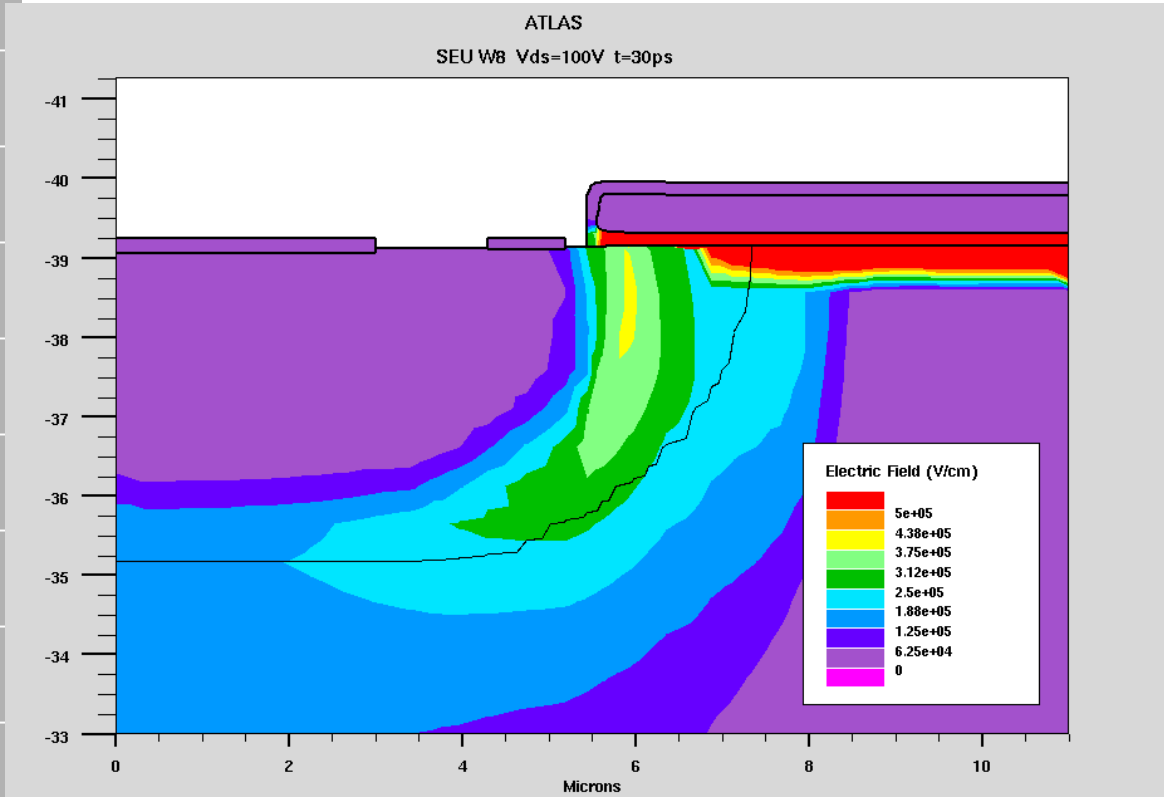
Campo elettrico



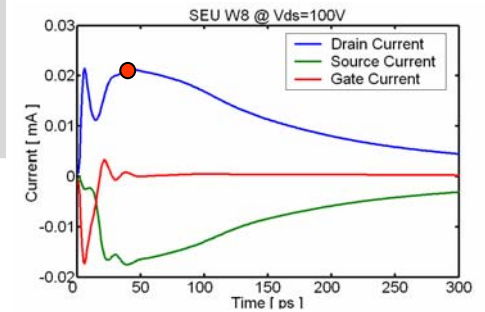
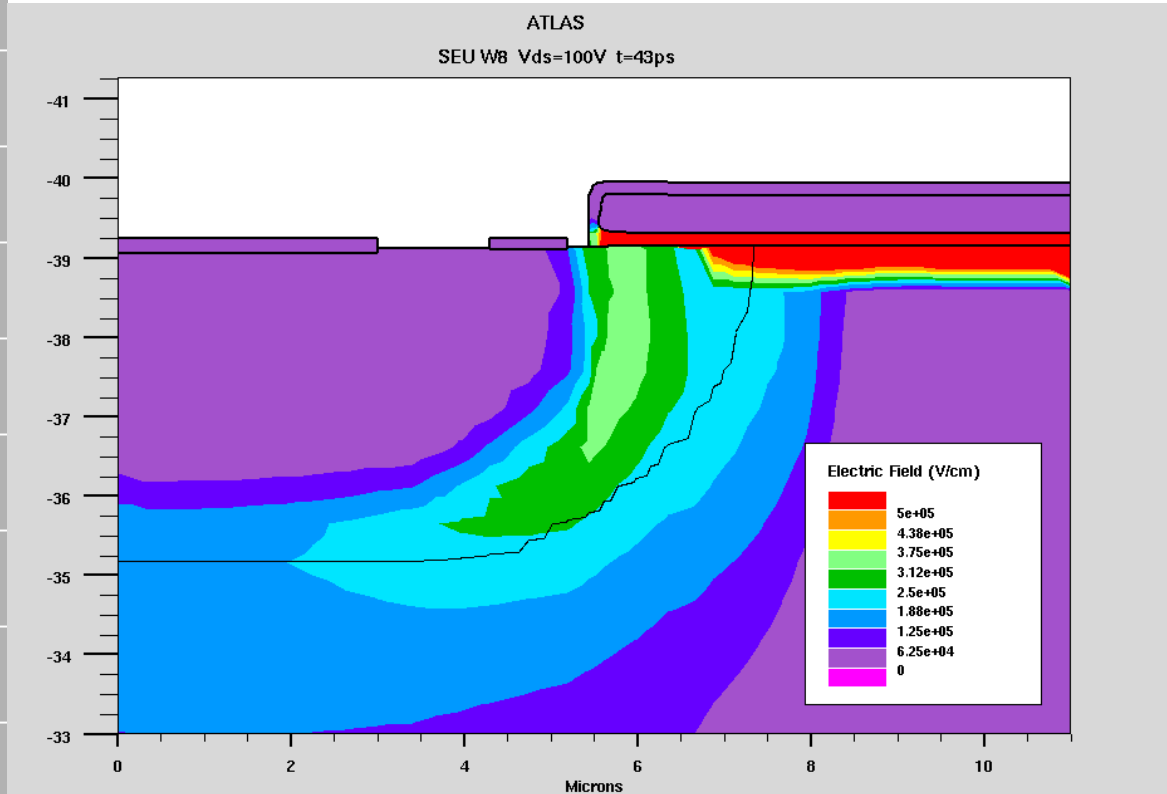
Campo elettrico



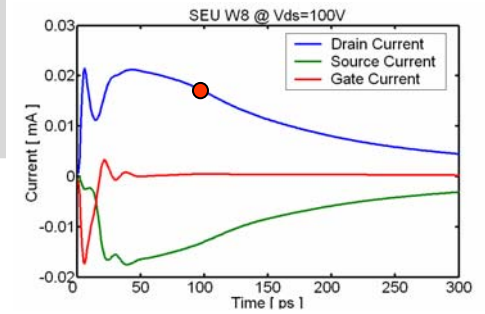
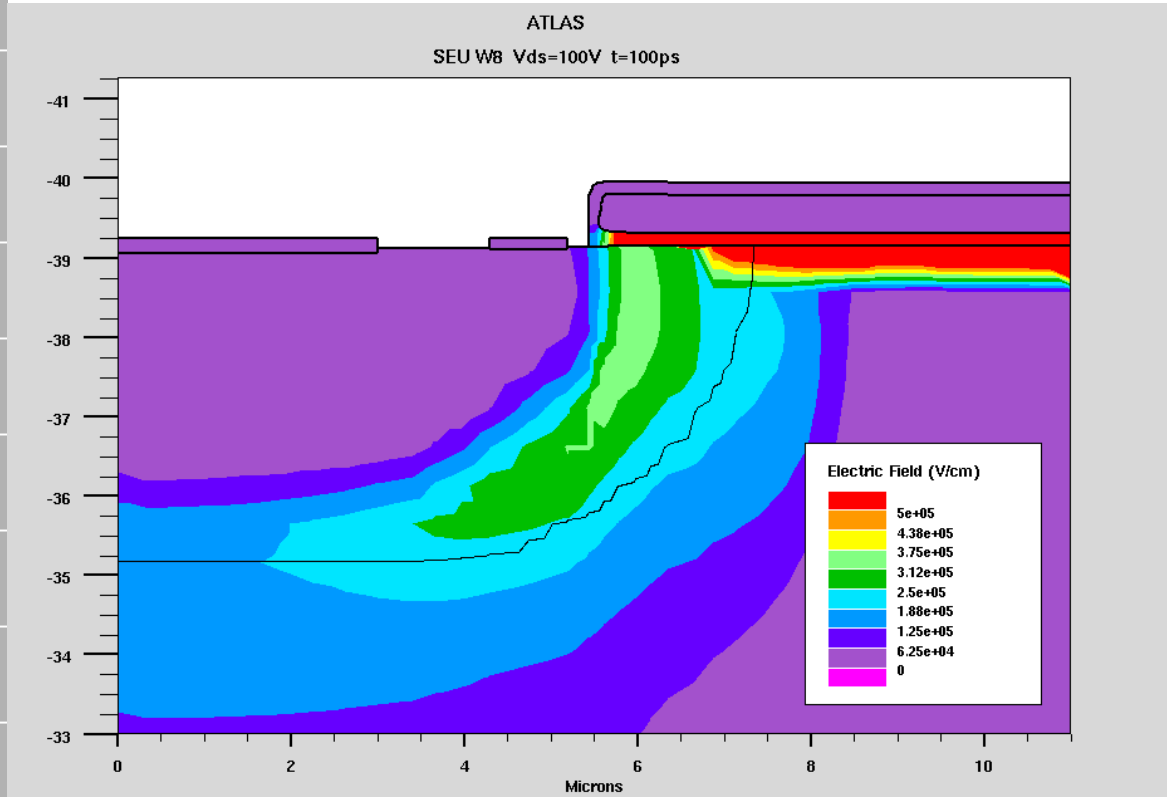
Campo elettrico



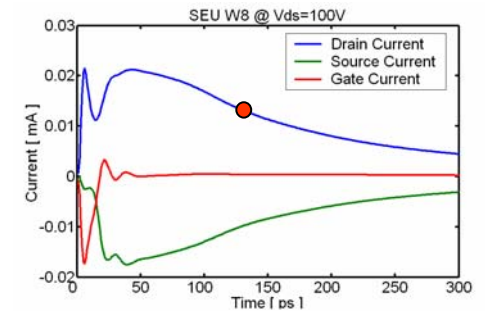
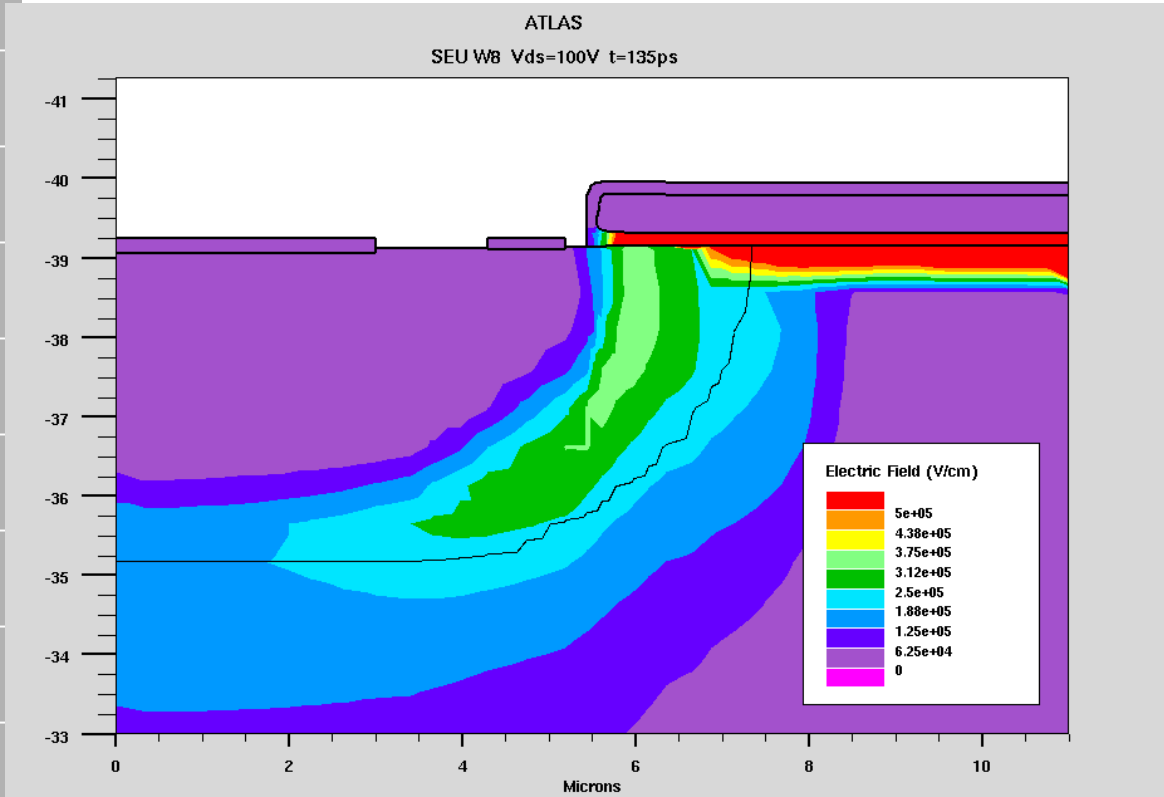
Campo elettrico



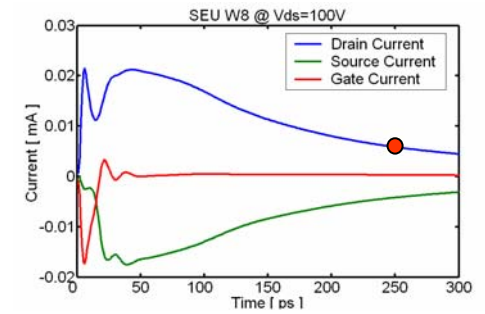
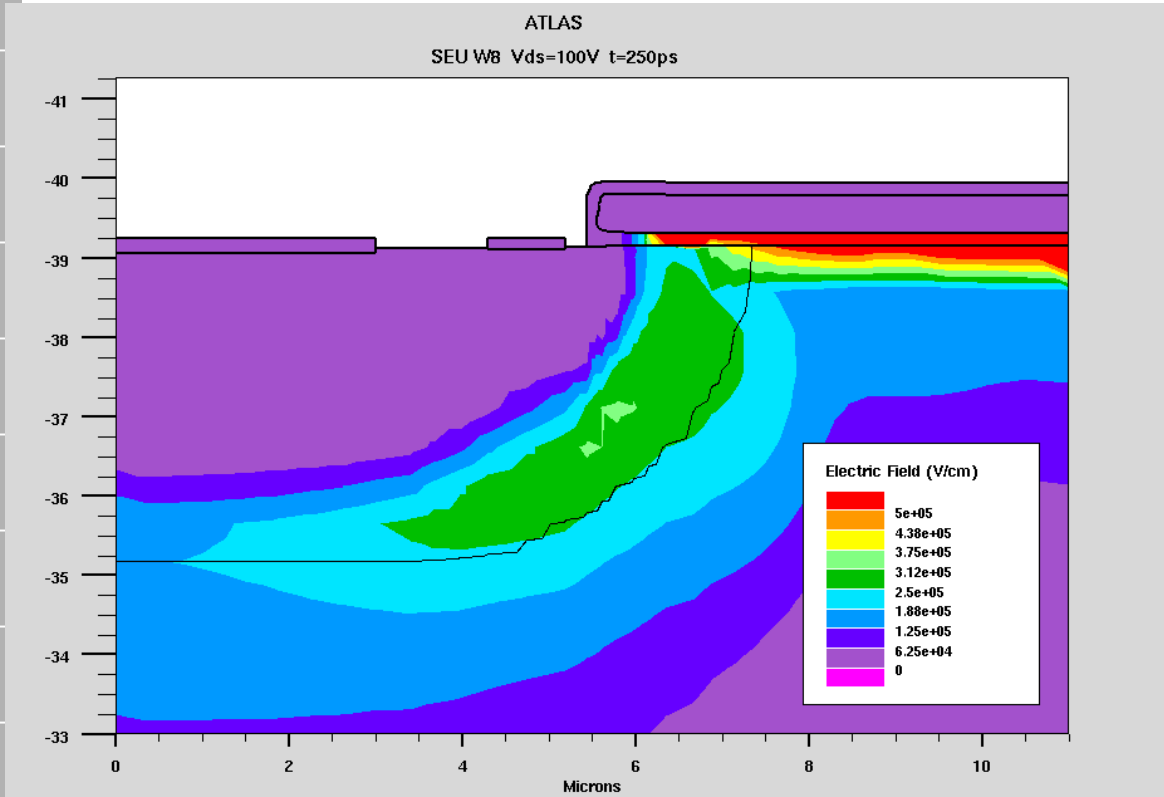
Campo elettrico



Campo elettrico



Campo elettrico



Effetti della ionizzazione da impatto



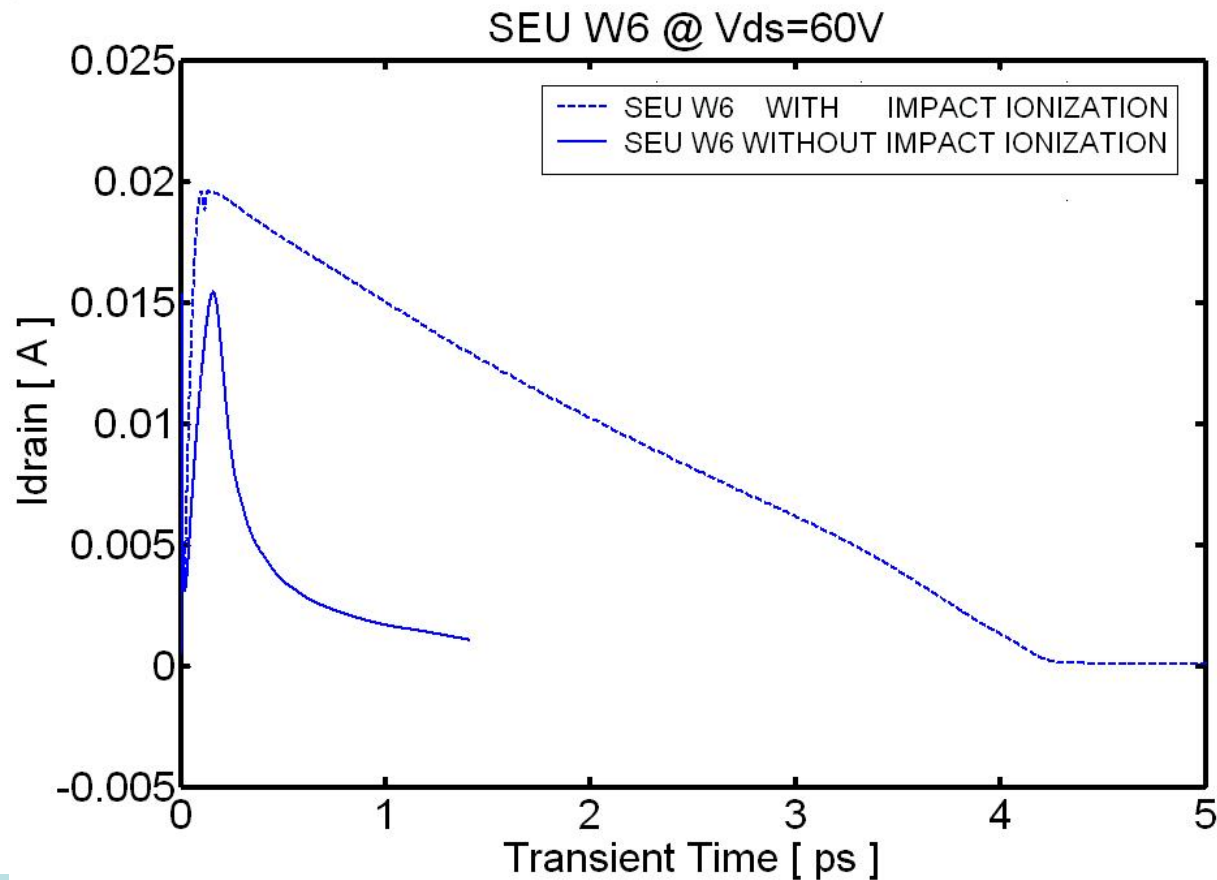
SIRAD



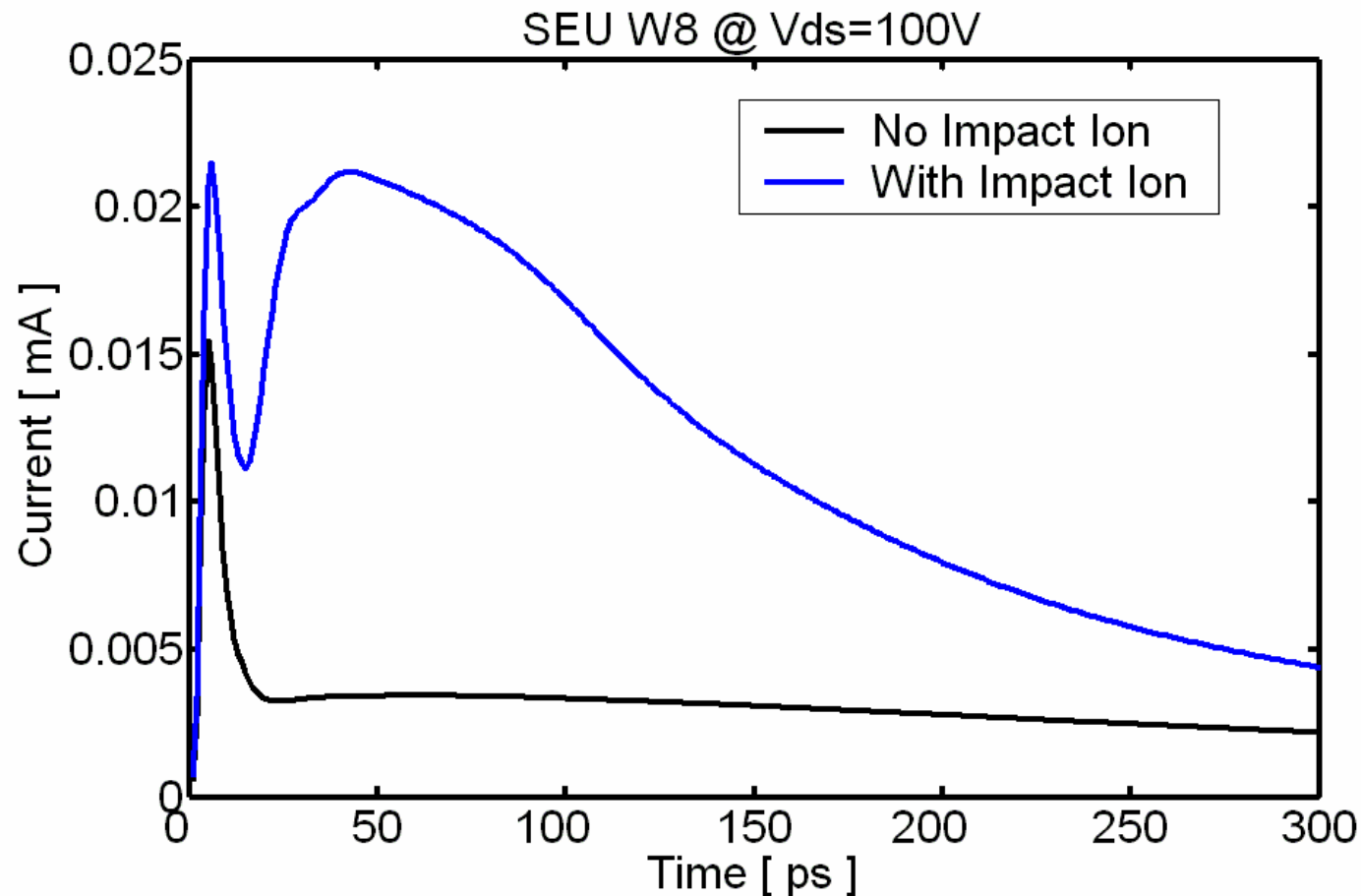
Università degli Studi di Cassino



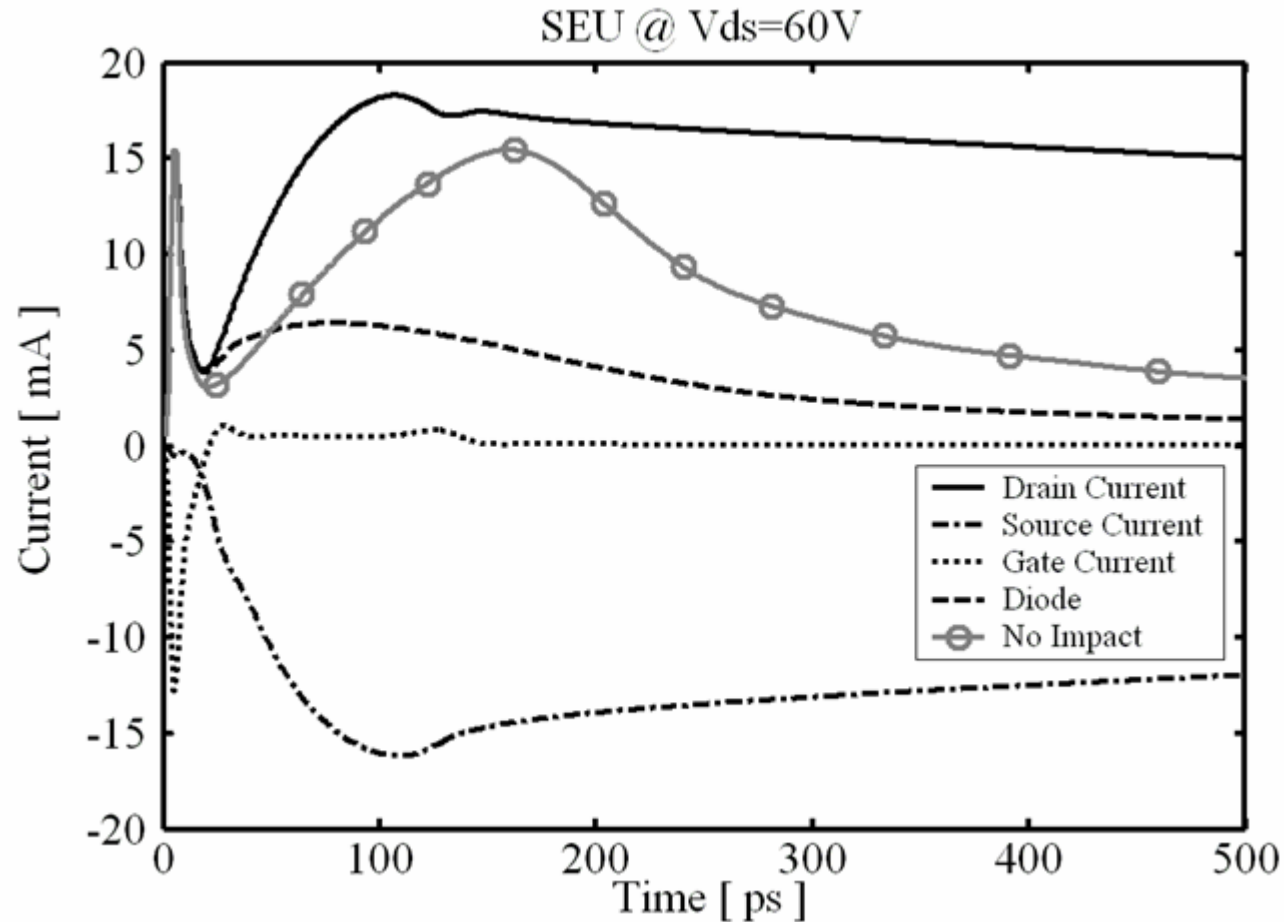
Forme d'onda simulate (Ionizzazione da impatto)



Forme d'onda simulate (Struttura diodica – Ionizzazione)



IL SET-UP SPERIMENTALE



Effetti dello spessore dell'epitassia



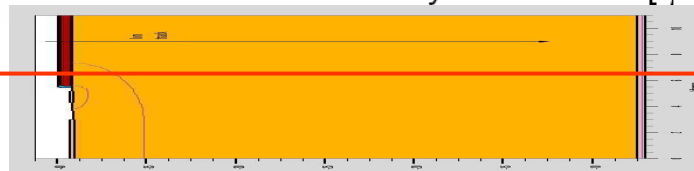
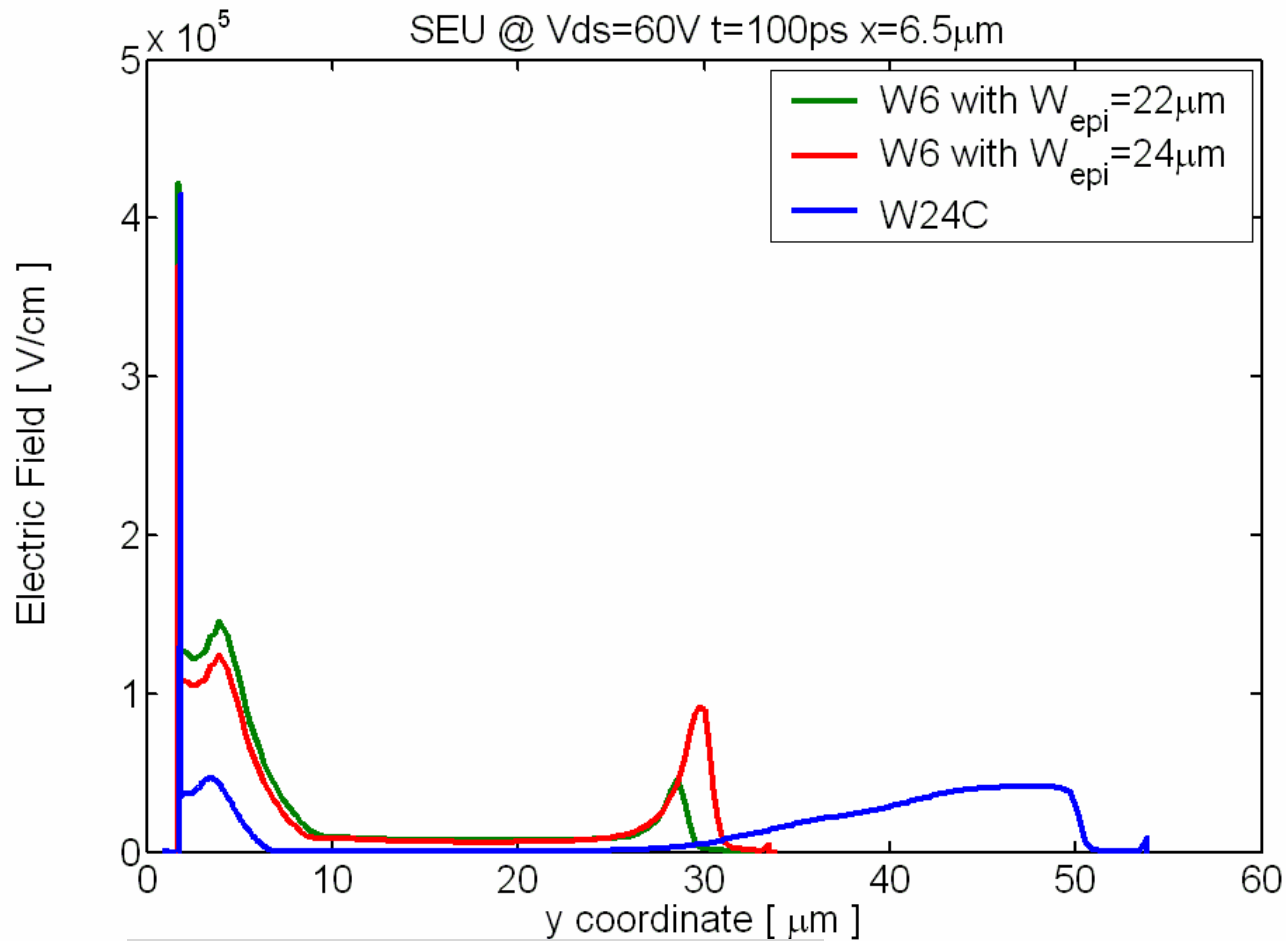
SIRAD



Università degli Studi di Cassino

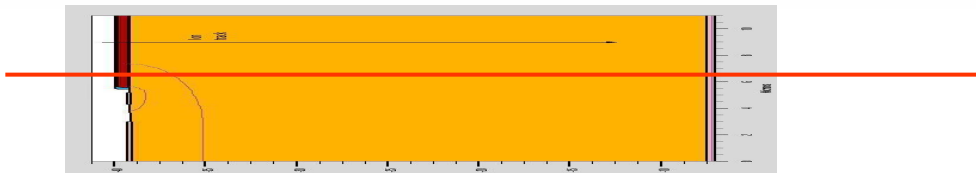
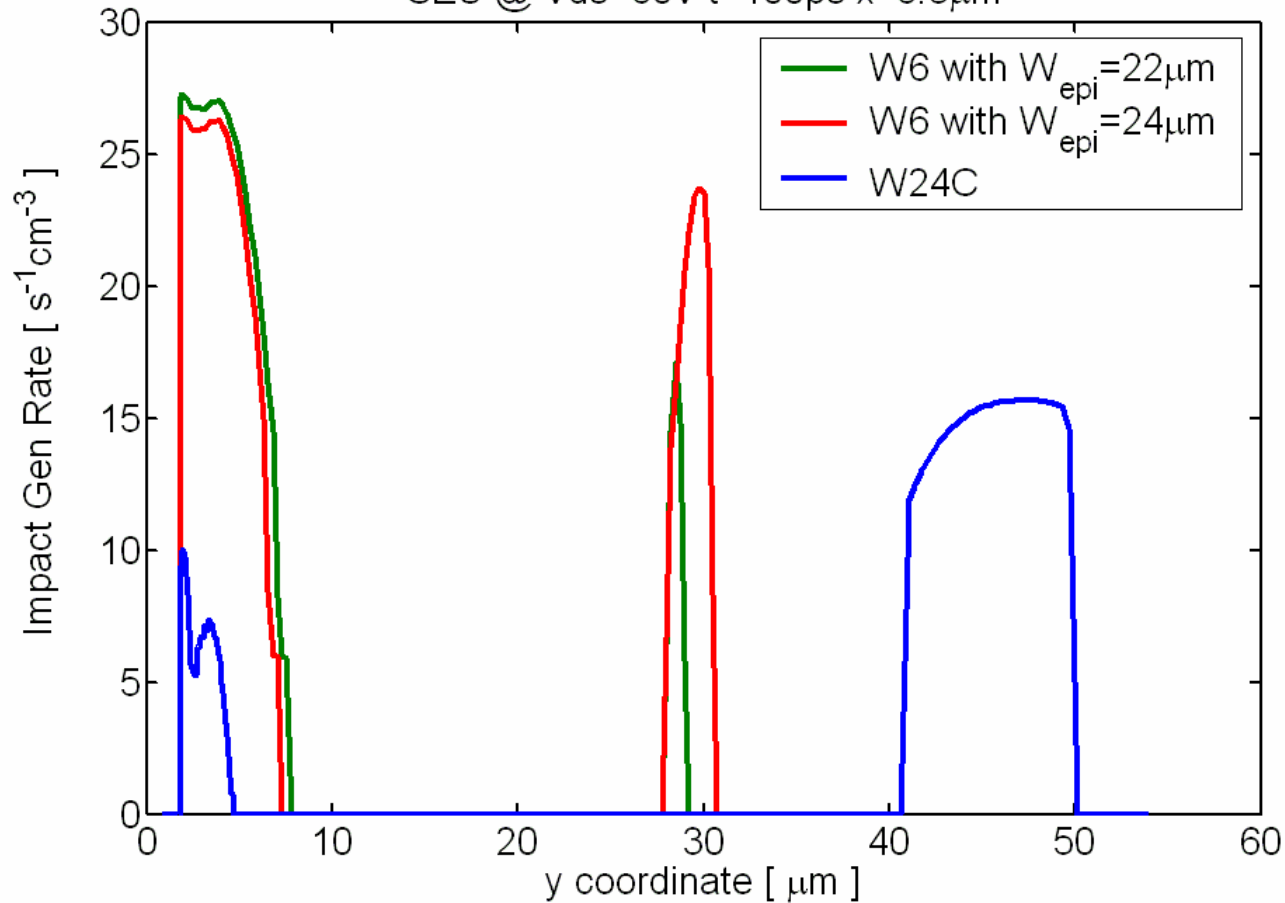


Campo elettrico



Generazione da impatto

SEU @ $V_{ds}=60V$ $t=100ps$ $x=6.5\mu m$



Conclusioni

- Il SEB dei MOSFET di potenza non è stato ancora totalmente spiegato.
- E' confermato che dipende dall'attivazione del BJT parassita.
- Nel meccanismo di rottura gioca un ruolo fondamentale la ionizzazione da impatto legata alla formazione di un campo molto elevato durante il moto delle particelle sotto l'ossido.
- Per prevenire la rottura dei dispositivi è necessario realizzare spessori epitassiali molto maggiori di quelli usati nei MOSFET commerciali.



SIRAD



Università degli Studi di Cassino



Bibliografia

1. J.H. Hohl, G.H. Johnson, "Features of the Triggering Mechanism for Single Event Burnout of Power MOSFETs", *IEEE Trans. Nuc. Sci.*, Vol.36, No.6, December 1989, pp.2260-2266;
2. T.F. Wrobel, D.E. Beutler "Solution to Heavy Ion Induced Avalanche Burnout in Power Devices", *IEEE Trans. Nucl. Sci.*, Vol.39, No.6, December 1992, pp.1636-1641;
3. E.G. Stassinopoulos, G.J. Bruker, P. Calvel, A. Baiget, C. Peyrotte, R. Gaillard, " Charge Generation by Heavy Ions in Power MOSFETs, Burnout Space Predictions, and Dynamic SEB Sensitivity", *IEEE Trans. Nuc. Sci.*, Vol.36, No.6, December 1992, pp.1704-1711;
4. S. Kuboyama, S. Matsuda, M. Nakajima, T. Kanno, T. Ishii, " Numerical Analysis of Single Event Burnout of Power MOSFETs", *IEEE Trans. Nuc. Sci.*, Vol.40, No.6, December 1993, pp.1872-1879;
5. J.L. Titus, C. F. Wheatley, "SEE Characterization of Vertical DMOSFETs:An Updated Test Protocol ", *IEEE Trans. Nuc. Sci.*, Vol.50, No.6, December 1993, pp.2341–2351
6. J.R. Brews,, M. Allenspach, R.D. Schrimpf, K.F. Galloway, J.L. Titus, C.F. Wheatley, "A conceptual model of a single-event gate-rupture in power MOSFETs", *IEEE Trans. Nuc. Sci.*, Vol.40, No.6, December 1993, pp.1959–1966;



SIRAD



Università degli Studi di Cassino



Bibliografia

7. J.L. Titus, C.F. Wheatley, "Experimental Studies of Single-Event Gate Rupture and Burnout In Vertical Power MOSFET's", *IEEE Trans. Nuc. Sci.*, Vol.46, No.2, April 1996, pp.533-545;
8. I. Mouret, P. Calvel, M. Allenspach, J.L. Titus, C.F. Wheatley, K.A. LaBel, M.C. Calvet, R.D. Schrimpf, K.F. Galloway, "Measurement of a Cross-Section for Single-Event Gate Rupture in Power MOSFET's", *IEEE Trans. Nuc. Sci.*, Vol.17, No.4, April 1996, pp.163-165;
9. M. Allenspach, C. Dachs, G.H. Johnson, R. D. Schrimpf, E. Lorfèvre, J.M. Palau, J.R. Brews, K.F. Galloway, J.L. Titus, C.F. Wheatley, "SEGR and SEB in N-Channel Power MOSFETs", *IEEE Trans. Nuc. Sci.*, Vol.43, No.6, December 1996, pp.2927-2931;
10. G. Soelkner, P. Voss, W. Kaindl, K. H. Maier, H. W. Becker, G. Wachutka, "Charge carrier avalanche multiplication in high-voltage diodes triggered by ionizing radiation", *IEEE Trans. Nucl. Sci.*, Vol. 47, No. 6, December 2000, pp. 2365-2371;
11. J. L. Titus, C. F. Wheatley, J.E. Gillberg, D.I. Burton, "A Study of Ion Energy and Its Effects Upon an SEGR-Hardened Stripe-Cell MOSFET Technology", *IEEE Trans. Nuc. Sci.*, Vol.48, No.6, December 2001, pp.1879–1884;
12. J.L. Titus, Y.S. Su, M.W. Savage, R.V. Mickevicius, C.F. Wheatley, "Simulation Study of Single-Event Gate Rupture Using Radiation-Hardened Stripe Cell Power MOSFET Structures", *IEEE Trans. Nuc. Sci.*, Vol.50, No.6, December 2003, pp.2256–2264.



SIRAD



Università degli Studi di Cassino

